## 第5章

CHAPTER 5

# 取样积分与数字式平均

对于淹没在噪声中的正弦信号的幅度和相位,可以利用第 4 章中介绍的锁定放大器进行 检测。但是如果需要恢复淹没在噪声中的脉冲波形,则锁定放大器是无能为力的。脉冲波形 的快速上升沿和快速下降沿包含丰富的高次谐波分量,锁定放大器输出级的低通滤波器会滤 除这些高频分量,导致脉冲波形的畸变。对于这类信号的测量,必须使用其他的有效方法,取 样积分与数字式平均就是这样的方法。

早在 20 世纪 50 年代,国外的科学家就提出了取样积分的概念和原理。1962 年,加利福尼亚大学劳伦茨实验室的 Klein 用电子技术实现了取样积分,并命名为 BOXCAR 积分器。为了恢复淹没于噪声中的快速变化的微弱信号,必须把每个信号周期分成若干个时间间隔,间隔的大小取决于恢复信号所要求的精度。然后对这些时间间隔的信号进行取样,并将各周期中处于相同位置(对于信号周期起点具有相同的延时)的取样进行积分或平均。积分过程常用模拟电路实现,称之为取样积分;平均过程常通过计算机以数字处理的方式实现,称之为数字式平均。

多年来,取样积分在物理、化学、生物医学、核磁共振等领域得到了广泛的应用,对于恢复淹没在噪声中的周期或似周期脉冲波形卓有成效,例如,生物医学中的血流、脑电或心电信号的波形测量,发光物质受激后所发出的荧光波形测量,核磁共振信号测量等,并研制出多种测量仪器。对于非周期的慢变信号,常用调制或斩波的方式人为赋予其一定的周期性,之后再进行取样积分或数字式平均处理。随着集成电路技术和微型计算机技术的发展,以微型计算机为核心的数字式信号平均器的应用越来越广泛。

## 5.1 取样积分的基本原理

取样积分包括取样和积分两个连续的过程,其基本原理示于图 5-1。周期为 T 的被测信号 s(t) 叠加了干扰噪声 n(t),可测信号 x(t)=s(t)+n(t) 经过放大输入到取样开关 K r(t) 是与被测信号同频的参考信号,也可以是被测信号本身。触发电路根据参考信号波形的情况(例如幅度或上升速率)形成触发信号,触发信号经过延时后,生成一定宽度  $T_g$  的取样脉冲,控制取样开关 K 的开闭,完成对输入信号 x(t) 的取样。

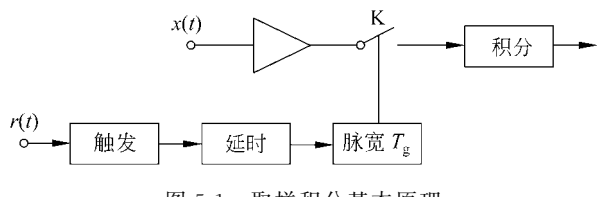


图 5-1 取样积分基本原理

取样积分的工作方式可分为单点式和多点式两大类。单点式取样在每个信号周期内只取 样和积分一次,而多点式取样在每个信号周期内对信号取样多次,并利用多个积分器对各点取 样分别进行积分。单点式电路相对简单一些,但是对被测信号的利用率低,需要经过很多信号 周期才能得到测量结果:与此相反,多点式电路相对复杂一些,对被测信号的利用率高,经过 不太多的信号周期就可以得到测量结果。

单点式取样又可以分为定点式和扫描式两种工作方式。定点式工作方式是反复取样被测 信号波形上某个特定时刻点的幅度,例如被测波形的最大点或距离过零点某个固定延时点的 幅度。扫描工作方式虽然也是每个周期取样一次,但是取样点沿着被测波形周期从前向后逐 次移动,这可以用于恢复和记录被测信号的波形。

门积分器是取样积分器的核心,它的特性对于系统的整体特性具有决定性作用。门积分 器不同于一般的积分器,由于取样门的作用,在开关 K 的控制下,积分仅在取样时间内进行, 其余时间积分结果处于保持状态。根据实现电路的不同,图 5-1 中的积分器可以分为线性门 积分器和指数式门积分器。

#### 线性门积分 5.1.1

线性门积分器是由线性积分电路附加电子开关组合而成。为了理解线性门积分器的工作 原理,首先分析图 5-2 所示普通线性积分电路的工作过程。

因为图 5-2 中左边放大器 A, 的负输入端为虚地,而且放大器输入端的输入阻抗可近似为 无穷大,当输入电压为 $u_i(t)$ 时,流过输入电阻R的电流i(t)等于流过电容C的电流,即

$$i(t) = \frac{u_i(t)}{R} = -\frac{C dv_o(t)}{dt}$$
 (5-1)

由式(5-1)解得

$$v_{o}(t) = -\frac{1}{RC} \int_{0}^{t} u_{i}(t') dt' + v_{o0}$$
 (5-2)

式中, $v_{00}$  为  $A_1$  输出  $v_{0}(t)$ 的初始电压,积分时间常数为  $T_{c} = RC$ 。

当输入电压  $u_i(t)$  是幅度为  $V_i$  的阶跃电压,而且初始电压  $v_{00}=0$  时,由式(5-2)解得,积 分器阶跃响应输出为

$$u_{0}(t) = -v_{0}(t) = V_{i}t/(RC)$$
 (5-3)

式(5-3)所表示的 $u_o(t)$ 与t之间的线性关系如图 5-3 中的点画线所示。

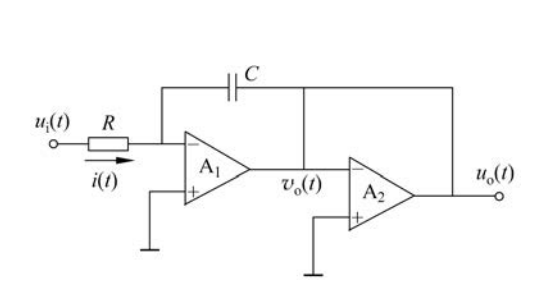


图 5-2 线性积分电路

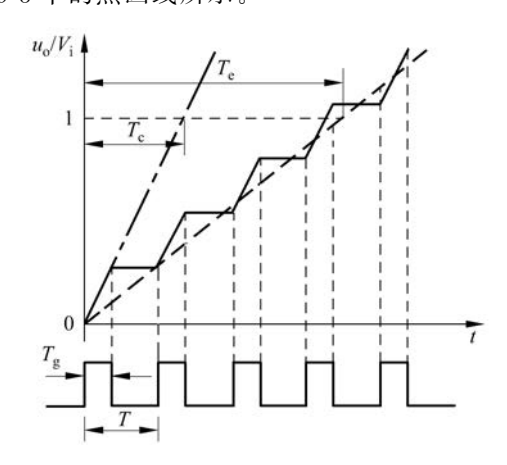


图 5-3 线性门积分器的阶跃响应

线性门积分电路示于图 5-4,图中,x(t)为被测信号,它包含有用信号 s(t)和噪声 n(t),s(t)是周期或似周期信号。r(t)是参考信号,由它触发取样脉冲产生电路,在被测信号周期中的指 定部位产生宽度为  $T_g$  的取样脉冲,在  $T_g$  期间使电子开关 K 闭合,以对被测信号取样。

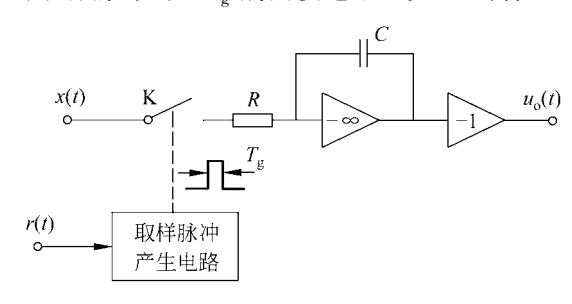


图 5-4 线性门积分器电路

设 r(t) 的周期为 T,取样门闭合时间宽度为  $T_s$ ,在取样门 K 的控制下,在 r(t)的每个周 期内开关 K 只在  $T_a$  时段内闭合,这时输入电压 x(t) 经电阻 R 对 C 进行积分;其余时段开关 断开,相当于输入电阻  $R = \infty$ ,电容 C 两端的电压保持不变。这时的阶跃响应如图 5-3 中的折 线所示,该折线可以用一条斜率取决于  $T_a/T$  的直线来近似。可以看出,由于取样开关 K 的 作用,积分的有效时间常数  $T_s > T_c$ 。

由于开关 K 的开闭作用,门积分器的等效积分电阻为

$$R(t) = \begin{cases} R, & 门接通时 \\ \infty, & 门断开时 \end{cases}$$
 (5-4)

设开关闭合的占空因子为 $\Delta = T_g/T$ ,则平均积分电阻可以近似为 $R/\Delta$ ,幅度为 $V_i$ 的阶跃响 应近似为

$$u_{o}(t) \approx V_{i}t\Delta/(RC) = V_{i}tT_{g}/(TRC)$$
 (5-5)

门积分的等效时间常数为

$$T_{e} \approx T_{c}/\Delta = RC/\Delta = RCT/T_{g}$$

$$T_{e} \approx T_{c}/\Delta = RC/\Delta = RCT/T_{g}$$
(5-6)

可见  $T_{e}$  越窄,等效时间常数  $T_{e}$  越大。

由于线性门积分电路的输出幅度受到运算放大器线性工作范围的限制,所以比较适用于 信号幅度较小的场合。如果信号幅度较大,为数不多的若干次取样积分就有可能使运算放大 器进入非线性区,导致测量误差,在这种情况下只能使用指数式门积分器。

#### 5.1.2 指数式门积分

指数式门积分电路由普通的 RC 指数式积分器和采样电子开关 K 串联而成,如图 5-5(a) 所示。

图 5-5(a)中的 x(t)为被测信号,r(t)为参考输入。由 r(t)触发取样脉冲产生电路,以在 被测信号周期的指定部位产生宽度为 T。的取样脉冲,控制电子开关闭合,对被测信号进行取 样。指数式门积分器电路的阶跃响应曲线示于图 5-5(b),图中的点画线是开关 K 始终闭合情 况下的阶跃响应曲线; 当开关 K 以周期 T、闭合时间宽度  $T_a$  周期性地通断时,电路的阶跃响 应曲线如图中的折线所示,这是一种台阶式的指数曲线,其平均值用虚线示出。

(1) 在开关 K 始终闭合的情况下,图 5-5(a)就是一个普通的 RC 积分电路,其输入输出电 压关系可以表示为

$$x(t) = RC \frac{\mathrm{d}u_{\,\mathrm{o}}(t)}{\mathrm{d}t} + u_{\,\mathrm{o}}(t) \tag{5-7}$$

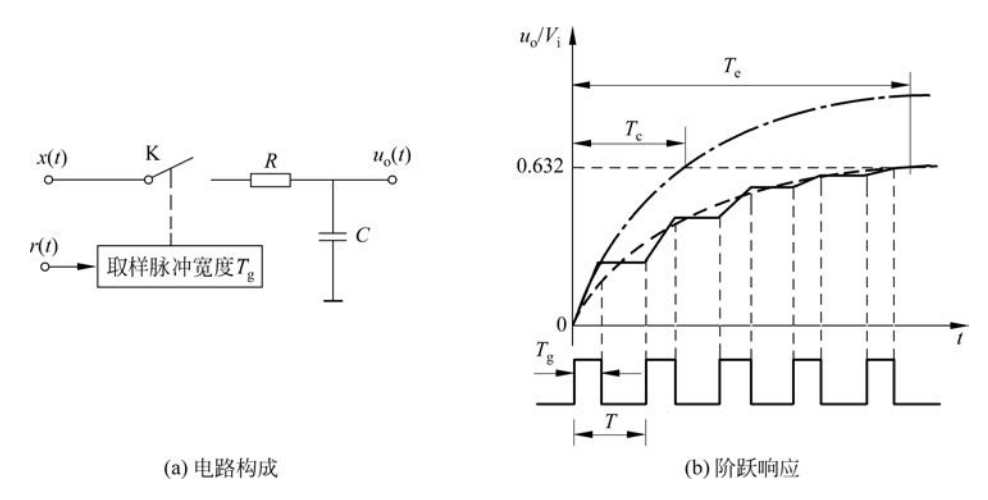


图 5-5 指数式门积分器电路及其阶跃响应

如果 x(t) 是幅度为  $V_i$  的阶跃电压,而且  $u_o(t)$  的初始电压为 0,则由式 (5-7) 可解得阶跃响应输出电压为

$$u_{o}(t) = V_{i}(1 - e^{-\frac{t}{RC}})$$
 (5-8)

 $u_o(t)$ 与 t 之间的关系曲线如图 5-5(b)中的点画线所示,这是一条指数曲线。由式(5-8)可以计算出, $u_o(t)$ 由 0 上升到 0. 632 $V_i$  所需要的时间为  $T_c = RC$ ,这就是 RC 积分电路的时间常数。

(2) 如果 r(t)的周期为 T,取样门闭合时间宽度为  $T_g$ ,在取样门 K 的控制下,只在  $T_g$  时段内输入电压 x(t)经电阻 R 对 C 进行积分;其余时段开关断开,输出电压  $u_o(t)$ 保持不变。当 x(t)是一个幅度为  $V_i$  的阶跃电压时,如果初始条件为零,则阶跃响应曲线变成图 5-5(b)中的折线。所以,由于取样门 K 的开关作用,当开关闭合时积分电阻为 K,开关断开时,积分电阻为 K,设开关闭合的占空因子为 K0 一 K1 则平均积分电阻为 K1 。 阶跃响应可近似表示为

$$u_{o}(t) = V_{i}(1 - e^{-\frac{t\Delta}{RC}})$$

$$(5-9)$$

式(5-9)表示的  $u_o(t)$ 与 t 之间的关系如图 5-5(b)中的虚线所示,该虚线可以看成是图中折线的平均值。在这种情况下,令  $u_o(t)$ 由 0上升到 0.632 $V_i$  所需的等效时间常数为  $T_o$ ,则

$$T_{e} = T_{c}/\Delta = T_{c}T/T_{g} = RCT/T_{g}$$
 (5-10)

可见,取样门开关的作用使得积分的时间常数加长了很多。

与线性门积分相比,指数式门积分有利有弊。由图 5-5(b)可以看出,随着取样次数的增加,每个取样使积分输出上升的值逐渐减少。经过 5 倍的  $T_e$  后接近稳定值,此后的取样对积分输出影响很小,因此不会因为积分时间太长而过载。另一方面,当积分时间大于  $2T_e$  后,每次取样使得积分结果变化很小,而且会越来越小,即积分作用降低。这意味着太长地增加测量时间是没有意义的,因为在  $2T_e$  之后,继续采样积分对提高信噪比作用不大。

相比之下,对于线性门积分,信噪比的改善会随着积分时间的增加而增加,它不受电路等效时间常数的限制,只受电路工作线性范围的制约。所以在信号幅度较小的情况下,采用线性门积分更为有利。而在信号幅度较大时,为了防止电路进入非线性区导致测量误差,必须采用指数式门积分器。所以,在具体的门积分应用中,要根据实际检测情况和要求选择合适的门积分方式。

#### 5.2 指数式门积分器分析

取样积分的关键部件是门积分器,取样积分抑制噪声的能力及其他一些重要的性能指标 也主要取决于门积分器的性能。在5.1节介绍的两种门积分器中,指数式门积分器不易因输  $\Delta x(t)$ 幅度讨大而讨载,抵御大幅度噪声的能力较好,所以得到了广泛的应用。

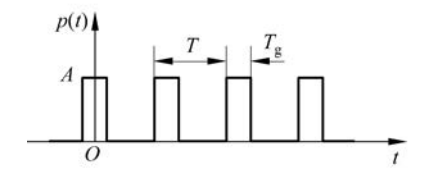
图 5-5(a) 所示的指数式门积分器可以分解为两级电路相串联而成: 前一级是取样门电 路,它以周期 T、脉冲宽度  $T_g$  对输入信号进行取样;后一级是 RC 积分电路。下面分别分析 它们的传输特性。

#### 5.2.1 取样过程频域分析

取样过程就是利用取样脉冲序列 p(t) 从被测连续信号 x(t) 中"抽取"一系列的离散样 值,如图 5-6 所示,取样电路输出  $x_s(t)$ 可以看作是取样 x(t)脉冲序列 p(t)与连续信号 x(t)的乘积,即

$$x_s(t) = p(t)x(t)$$
 (5-11)

设取样脉冲序列 p(t) 的幅度为 A,周期为 T,脉冲 宽度为 $T_{\sigma}$ ,这样的周期性脉冲序列可以展开为傅里叶级 数的形式



$$p(t) = \sum_{n=-\infty}^{\infty} c_n \exp(jn\omega_s t)$$
 (5-12)

图 5-6 取样门与取样脉冲序列

式中, $\omega_s = 2\pi/T$  为取样脉冲 p(t)的基波角频率,复数集  $c_n$  称为 p(t)的频谱

$$c_n = \frac{1}{T} \int_{-T/2}^{T/2} p(t) \exp(jn\omega_s t) dt = \frac{AT_g}{T} \frac{\sin(n\omega_s T_g/2)}{n\omega_s T_g/2}$$
 (5-13)

令  $\Delta = T_g/T_g/T_g$  为 p(t) 的占空系数,考虑到用 p(t) 控制取样开关的情况相当于 p(t) 的幅度 A=1,而且 $\omega_s=2\pi/T$ ,则由式(5-13)可得

$$c_n = \Delta \frac{\sin(n \pi \Delta)}{n \pi \Delta} \tag{5-14}$$

将式(5-14)代入式(5-12)得

$$p(t) = \sum_{n = -\infty}^{\infty} \Delta \frac{\sin(n \pi \Delta)}{n \pi \Delta} \exp(jn\omega_s t)$$
 (5-15)

对式(5-15)进行傅里叶变换得 p(t)的频谱为

$$P(\omega) = \sum_{n=-\infty}^{\infty} \Delta \frac{\sin(n \pi \Delta)}{n \pi \Delta} \delta(\omega - n\omega_s)$$
 (5-16)

式中, $\omega_s = 2\pi/T$  为取样脉冲的角频率。可见, $P(\omega)$ 的图形是包络线为取样函数(sample function) $\sin(n\pi\Delta)/(n\pi\Delta)$ 的一系列的冲激函数,如图 5-7(a)所示。取样函数在某些文献中 又称之为 sinc 函数。

设输入信号 x(t)的频谱为  $X(\omega)$ ,如图 5-7(b)所示。根据傅里叶变换的性质,式(5-11)所 表示的 p(t)和 x(t)的相乘过程在频域表现为两者频谱的卷积,即

$$X_{s}(\omega) = X(\omega) * P(\omega) \tag{5-17}$$

式中, $X_s(\omega)$ 表示取样信号 $x_s(t)$ 的频谱。将式(5-16)代入式(5-17),可得

$$X_{\rm s}(\omega) = X(\omega) * \sum_{n = -\infty}^{\infty} \Delta \frac{\sin(n \pi \Delta)}{n \pi \Delta} \delta(\omega - n\omega_{\rm s})$$

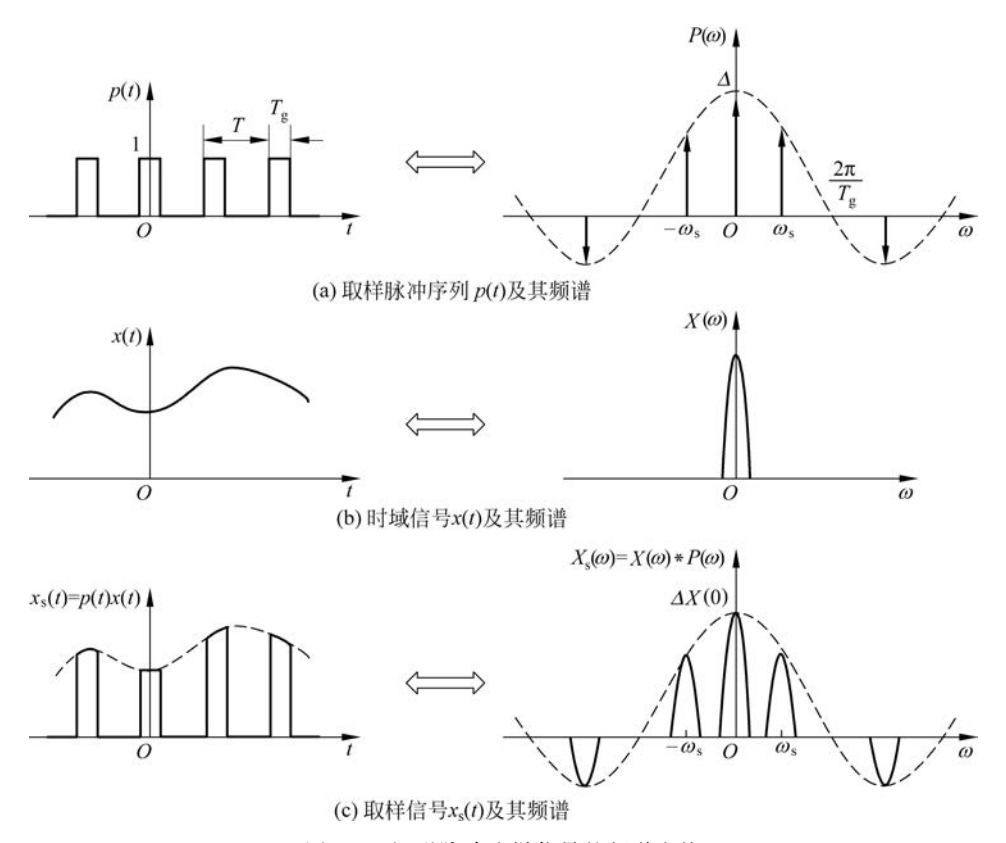


图 5-7 矩形脉冲取样信号的频谱变换

$$= \sum_{n=-\infty}^{\infty} \Delta \frac{\sin(n \pi \Delta)}{n \pi \Delta} X(\omega - n\omega_{s})$$
 (5-18)

或者将式(5-15)代入式(5-11),可得

$$x_{s}(t) = \sum_{n = -\infty}^{\infty} x(t) \Delta \frac{\sin(n \pi \Delta)}{n \pi \Delta} \exp(jn\omega_{s}t)$$
 (5-19)

取式(5-19)两侧的傅里叶变换,也可以得到式(5-18)的结果。

由式(5-18)可见,取样过程的作用是将输入信号 x(t)的频谱  $X(\omega)$  平移到  $n\omega$ 。各点(n 为 -∞~+∞的整数),再分别乘以相应的  $c_n$  值。

图 5-7 说明了上述变换过程。图 5-7(a)表示的是取样脉冲序列 p(t) 及其频谱  $P(\omega)$ , 图 5-7(b)表示的是时域信号 x(t) 及其频谱  $X(\omega)$ , p(t) 与 x(t) 相乘得到图 5-7(c)中的取样信 号 $x_s(t)$ , $X(\omega)$ 与 $P(\omega)$ 卷积的结果得到图 5-7(c)中取样信号的频谱  $X_s(\omega)$ , $X_s(\omega)$ 是幅度按 取样函数包络分布的离散频谱。

#### 指数式门积分器的输出特件 5 2 2

任何波形的周期信号都可以表示为三角函数的组合,考虑输入被测信号中频率为 $\omega$ 的单 一频率正弦信号分量为

$$x(t) = x_{m} \cos[\omega(t - \tau)]$$
 (5-20)

式中, $x_m$ 是该频率分量的幅度。参考文献[12]中给出了下列几个有用的结论。

## 1. 当 $\omega = \omega_s = 2\pi/T$ 时

这意味着 x(t)的频率  $\omega$  等于取样脉冲频率,这时指数式门积分器的稳态输出为

$$u_{o}(t) = x_{m} \frac{\sin(\pi \Delta)}{\pi \Delta} \cos(\omega_{s} \tau) \left[ 1 - \exp\left(-\frac{\Delta}{RC}t\right) \right]$$
 (5-21)

式中, $\Delta = T_g/T$  为取样脉冲p(t)的占空系数。

由式(5-21)可以得出以下结果:

- (1) 式中的指数项说明,取样积分器的输出是沿着指数曲线逐渐积累的过程,时间常数为  $T_e = RC/\Delta$ ,图 5-5(b)也说明了这一点。取样脉冲宽度  $T_g$  越窄,占空系数  $\Delta$  越小,则所需积 分时间越长。
- (2) 当改变延迟时间  $\tau$  时,输出按  $\cos(\omega_{\alpha}\tau)$ 的规律变化; 当  $\tau$  从 0 逐渐变化到 T 时,输出 显示出一个完整周期的正弦波。在 $\omega = \omega$ 。情况下,式(5-21)中的  $\tau$  可以看成是取样脉冲相对 于被测信号x(t)起始点的延时。这说明,逐渐改变取样点相对于被测信号x(t)起始点的时 间,可以从噪声中恢复出被测信号的波形,这正是扫描式取样积分器的工作原理。
- (3) 取样积分器稳态输出时的衰减系数取决于  $\sin(\pi\Delta)/(\pi\Delta)$ , 若要求衰减系数小于 3dB,则要求

$$\frac{\sin(\pi\Delta)}{\pi\Delta} < \frac{1}{\sqrt{2}}$$

由上式解得  $\pi\Delta$ <1.392,由  $\Delta = T_g/T$  可得

$$T_{g} < 0.4431T$$
 (5-22)

式(5-22)说明,为了使取样积分的稳态值衰减不多,取样脉冲宽度  $T_g$  要足够窄,如果  $T_g$ 0.4431T,则衰减系数有可能大于 3dB。

### 2. 当 $\omega = n\omega$ 。时

这意味着 x(t)的频率  $\omega$  等于取样脉冲 p(t)的某次谐波频率,这时指数式门积分器的稳 态输出为

$$u_{o}(t) = x_{m} \frac{\sin(n \pi \Delta)}{n \pi \Delta} \cos(n \omega_{s} \tau) \left[ 1 - \exp\left(-\frac{\Delta}{RC}t\right) \right]$$
 (5-23)

当 n=1 时,式(5-23)就退化为基波情况下的式(5-21)。由式(5-23)可得如下结论。

- (1) 当改变延迟时间  $\tau$  时,输出按  $\cos(n\omega_s\tau)$ 的规律变化,这说明通过改变延迟时间  $\tau$  可 以恢复被测信号的任何高次谐波分量的波形。
- (2) 式(5-23) 右边中括弧中的项说明,输出信号中的高次谐波分量也是按指数规律逐渐 积累的过程,积分的时间常数也是  $T_s = RC/\Delta$ 。
  - (3) 为了使恢复的被测信号的 n 次谐波分量衰减系数小于 3dB,要求

$$\frac{\sin(n\,\pi\Delta)}{n\,\pi\Delta} < \frac{1}{\sqrt{2}}$$

由上式解得  $n\pi\Delta < 1.392$ ,由  $\Delta = T_g/T$  可得

$$T_{g} < 0.4431T/n$$
 (5-24)

式(5-24)说明,取样脉冲宽度越窄,输出信号的分辨率越高。要想使恢复信号的 n 次谐波分量 衰减系数小于 3dB,取样脉冲的宽度必须小于 n 次谐波周期的 0.4431 倍。

## 3. 当 $\omega = n\omega_s + \Delta\omega$ 时

这意味着  $x(t) = x_m \cos[\omega(t-\tau)]$ 的频率  $\omega$  偏离取样脉冲的 n 次谐波  $n\omega_s$  一个  $\Delta\omega$ ,这时 指数式门积分器输出的稳态振幅为

$$u_{\text{om}} = x_{\text{m}} \cdot \frac{\sin(n \pi \Delta)}{n \pi \Delta} \cdot \frac{1}{\sqrt{1 + (\Delta \omega RC/\Delta)^2}}$$
 (5-25)

式(5-25)除以x(t)的振幅 $x_m$ ,就可以得到在 $\omega = n\omega_s$ 附近的幅度响应

$$\mid H_n(\omega) \mid = \frac{\sin(n \pi \Delta)}{n \pi \Delta} \cdot \frac{1}{\sqrt{1 + (\Delta \omega RC/\Delta)^2}}$$
 (5-26)

式中, $\Delta \omega = \omega - n \omega_s$ 。

式(5-26)说明,经过取样积分,输入被测信号在各谐波处要经过一阶带通滤波,带宽取决 于等效时间常数  $T_o = RC/\Delta$ 。而且,各次谐波处的幅度按取样函数  $\sin(n\pi\Delta)/(n\pi\Delta)$ 分布。

当取样脉冲的占空比 $\Delta <<<1$ 时,有 $\Delta \omega RC/\Delta >>>1$ , $\pi \Delta <<<1$ ,那么式(5-26)可以简化为

$$\mid H_n(\omega) \mid = \frac{\Delta}{\Delta \omega RC} \tag{5-27}$$

将式(5-26)推广到各次谐波的情况,将各次谐波处的幅度响应求和就得到指数式取样积分器 总的幅度响应 $H(\omega)$ 

$$|H(\omega)| = \sum_{n = -\infty}^{\infty} \frac{\sin(n \pi \Delta)}{n \pi \Delta} \cdot \frac{1}{\sqrt{1 + [(\omega - n\omega_s)RC/\Delta]^2}}$$
 (5-28)

根据式(5-28),当 $\Delta = T_g/T = 0.2$ 时,取样门电路的幅频响应H(f) 示于图 5-8。可以 看出,|H(f)|是一个幅度服从取样函数规律的离散频域窗。

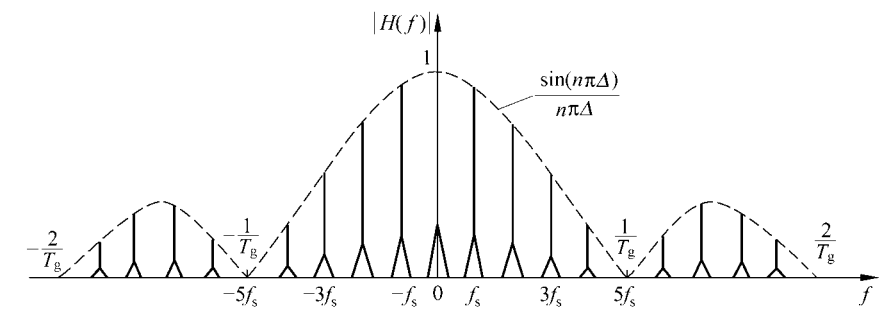


图 5-8 取样门电路的输出特性

由式(5-28)和图 5-8 可以得出以下几点结论。

- (1) 在取样频率  $f_s$  的各次谐波处的带宽随积分时间常数 RC 的增加而减少,随占空比  $\Delta = T_{g}/T$  的减少而减少。也就是说,其带宽取决于  $\Delta/(2\pi RC)$ 。
  - (2) 在  $f_s$  的各次谐波处的通带幅度服从取样函数  $\sin(n\pi\Delta)/(n\pi\Delta)$ 的规律。

## 指数式门积分的信噪改善比

## 1. 污染噪声为白噪声时的信噪改善比

由图 5-5(b)的响应曲线可知,对于时间常数为  $T_c$ 的指数式积分器,当有效积分时间接近  $5T_c$ 时,积分效果变得不明显。设积分次数为N,每次取样积分时间为 $T_a$ ,则有效积分时间 为 NT<sub>s</sub>。为了使积分作用有效,应该保证

$$NT_{g} < 5T_{c} \tag{5-29}$$

在本章后面的数字累加部分将会看到,对于污染噪声是白噪声的情况,取样累积 N 次所 能实现的信噪改善比(有效值)为

$$SNIR = \sqrt{N}$$

将式(5-29)代入上式得

$$SNIR < \sqrt{5T_c/T_g} \tag{5-30}$$

式(5-30)只是给出了信噪改善比的大致范围。用数学分析的方法确定准确的信噪改善比 SNIR 比较繁琐,根据文献[15]中的分析,对于污染噪声是白噪声的情况,指数式门积分可以 达到的信噪改善比(有效值)为

$$SNIR = \sqrt{2T_c/T_g} \tag{5-31}$$

## 2. 污染噪声为有色噪声时的信噪改善比

对于污染噪声为有色噪声的情况,例如白噪声通过 RC 低通滤波器后的输出 x(t)就是一种有色噪声,根据式(1-65a),其自相关函数可以表示为

$$R_{\tau}(\tau) = P_{n} \exp(-|\alpha \tau|) \tag{5-32}$$

式中, $P_n = R_x(0)$ 为噪声的功率, $\alpha = 1/(RC)$ 为有色噪声的相关函数指数因子,则指数式门积分可以达到的信噪改善比 SNIR (有效值)为

$$SNIR \approx \sqrt{\frac{2T_{\rm c}/T_{\rm g}}{1 + 2e^{-aT}}} \tag{5-33}$$

式中,T 为取样周期。对于白噪声的情况,相当于 $\alpha = \infty$ ,式(5-33)可简化为式(5-31)。

## 5.3 取样积分器的工作方式

取样积分器的工作方式可分为定点式和扫描式两种,一般将这两种工作方式组合在同一仪器中,由用户选择使用哪种工作方式。定点工作方式用于检测信号波形上某一特定位置的幅度,而扫描工作方式用于恢复和记录被测信号的波形。

## 5.3.1 定点工作方式

在定点工作方式中,参考触发信号与输入被测信号保持同步,经过延时后产生固定宽度为 $T_g$ 的门控信号,这样取样积分总是在被测信号周期的固定部位进行。定点工作方式比较简单,适用于检测处理周期信号或似周期信号固定部位的幅度,例如接收斩波光的光电倍增管(PMT)的输出电流,心电图一定部位(例如 R 波)的幅度等。

图 5-9 所示为定点取样积分电路原理方框图,它由信号通道、参考通道和门积分器组成。信号通道中的前置放大器为宽带低噪声放大器,用于将叠加了噪声的微弱被测信号 x(t) 放大到合适的幅度。参考通道由触发电路、延时电路和取样脉冲宽度形成电路组成。参考信号可以是与被测信号相关的信号(例如交流电桥测量电路的交流电源),也可以是被测信号本身。当参考信号的一定特征(例如幅度或变化率)达到一定数值时,则产生触发信号,触发信号经过延时后触发门控电路,以形成宽度为  $T_g$  的取样脉冲,在被测信号周期中的固定部位进行取样和积分。延时电路的延时量可调,以便调整取样的部位。对取样积分输出信号  $u_o(t)$  可以进一步放大,以便干观测或记录。

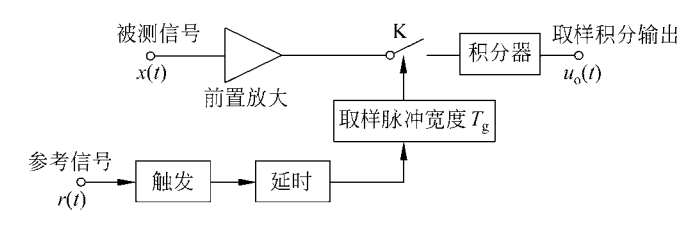


图 5-9 定点取样积分原理示意图

定点工作方式中的各点波形示于图 5-10。图中,参考触发信号经过一定时间的延迟  $T_d$ 

之后,电路产生宽度为 $T_a$ 的取样脉冲,对被测信号的固定部位进行取样积分。可以看出,在 每个信号周期内,取样积分只进行了一次,在 $T_g$ 期间取样并积分,而在其他时间开关 K 断开, 保持积分结果,输出信号呈现阶梯式累积的波形。经过多个周期的取样积分,输出信号趋向于 被测信号取样点处的平均值。

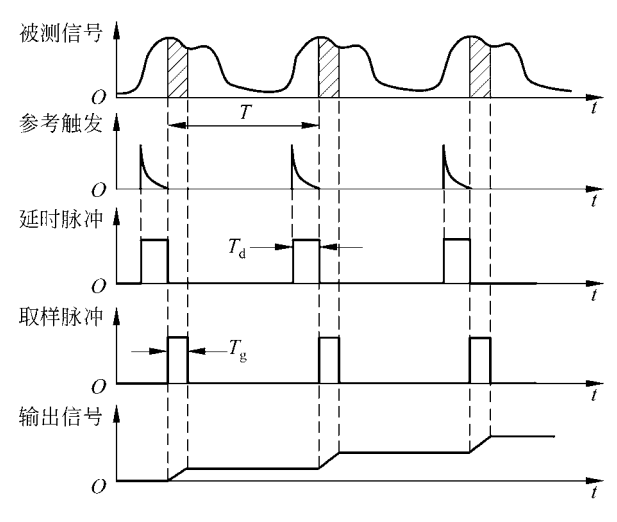


图 5-10 定点工作方式取样积分的各点波形

在定点工作方式中,因为取样点相对于信号起始时刻的延时是固定的,取样脉冲宽度 T。 也保持不变,所以取样总是在被测信号距离原点为固定延时的某个小时段重复进行,积分得到 的结果是该时段的多次累加积分值。利用信号的确定性和噪声的随机性,重复取样积分的结 果将使信噪比得以改善。

图 5-11 所示是一种比较特殊的定点差值取样积分电路[12],图中的触发整形电路和延时 电路用于产生相对于参考信号原点固定延时  $T_d$  的取样脉冲,其宽度  $T_g$  由取样脉冲宽度控制 电路设定。电阻 R、电容 C 和  $A_2$  组成积分器,放大器  $A_1$  和  $A_3$  组成差值积分电路。被测信 号经前置放大与上次取样积分结果的分压值相比较,在 A<sub>1</sub>的输出端得到差值信号,该差值信 号被送到取样门进行定点取样,再经积分器积分得到输出信号。在电子开关 K 接通期间,积 分器对  $A_1$  输出进行积分; 在电子开关 K 打开期间,由于运算放大器  $A_2$  的输入阻抗很高,积 分器保持上次的积分结果。图中的 $R_1$ 、 $R_2$  以及 $A_3$  组成反馈支路, $A_1$  将当前的前置放大输 出与上次取样积分的输出进行比较,输出给取样门 K 的电压为

$$u_{1}(t) = A_{1} \left( A_{0}x(t) - \frac{R_{2}A_{3}}{R_{1} + R_{2}} \cdot u_{0}(t) \right)$$
 (5-34)

所以这是一种差值取样积分,其工作原理类似于密勒积分器。

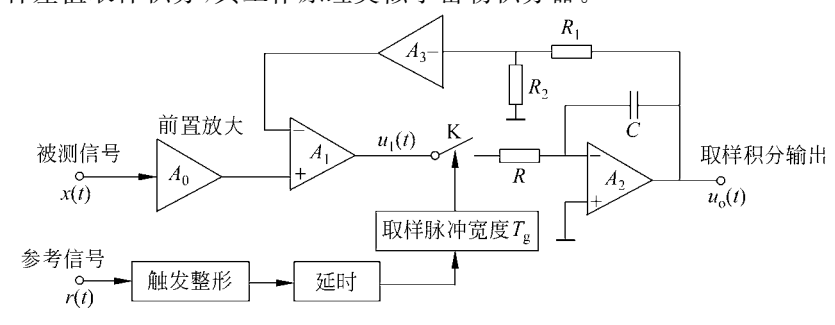


图 5-11 定点差值取样积分电路

#### 扫描工作方式 5.3.2

定点式取样积分器只能用于测量周期或似周期信号固定部位的电压,却不能用于恢复被 测信号的整个波形。在取样积分器的扫描工作方式中,取样点距离波形原点的延时量被逐渐 延长。随着一个个信号周期的到来,取样点沿着信号周期波形从前向后进行扫描,从而恢复被 噪声污染的波形。

扫描式取样积分器的结构方框图示于图 5-12,图中的慢扫描电路用于产生覆盖很多个信 号周期的锯齿波,其宽度为 T、; 时基电路用于产生覆盖被测信号周期中需要测量部分的锯齿 波,其宽度为 T<sub>B</sub>。比较器电路对两个锯齿波进行比较,从而产生逐渐增加的延时,这样就可 以在被测信号的逐个周期中从前向后延时取样,以便实现对原信号的逐点恢复。门控电路用 于产生宽度为 T<sub>a</sub> 的取样脉冲。

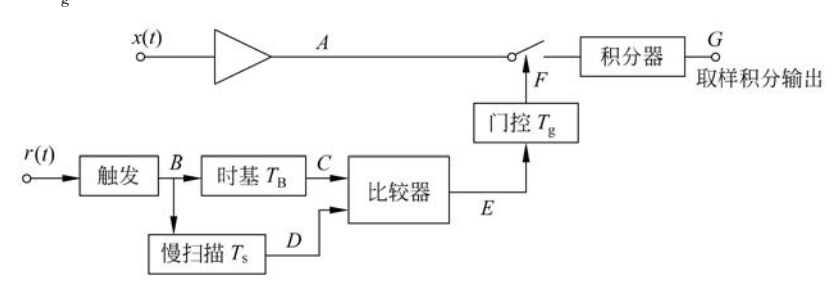
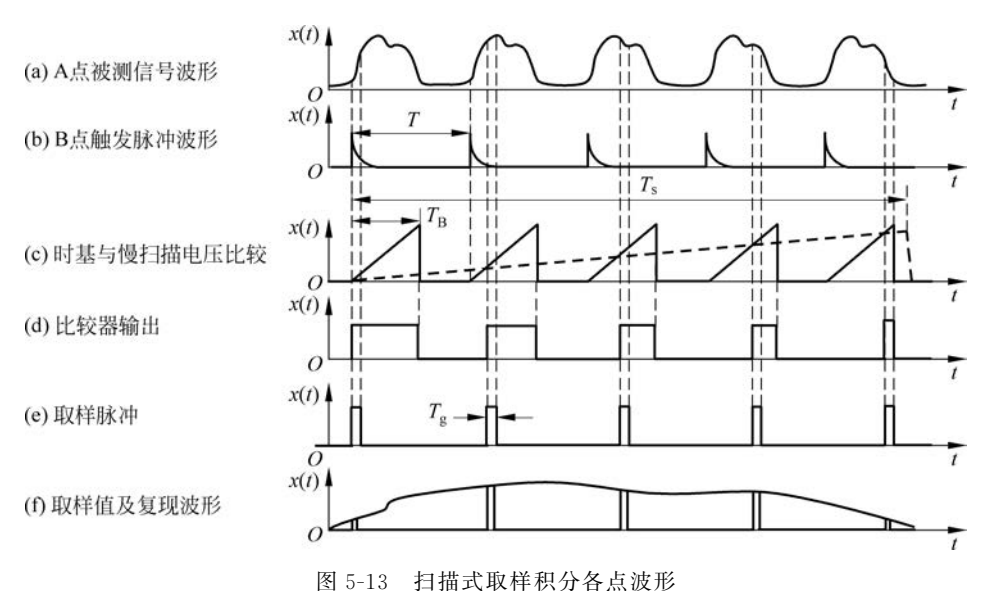


图 5-12 扫描式取样积分结构框图

图 5-13 示出扫描式取样积分器的各点波形,(a)为被测信号 x(t)波形;(b)为由参考信号 r(t)产生的触发信号波形; (c)为由慢扫描电路产生的长周期  $T_s$ 锯齿波(虚线),以及覆盖被 测信号需要测量部分的时基  $T_{\rm R}$  锯齿波(实线); 比较器根据两个锯齿波的相交点产生延时脉 冲,如图 5-13(d)所示,其上升沿相对于触发脉冲的延时逐渐增加;由延时脉冲触发门控电路 产生逐次后移的取样脉冲,如图 5-13(e)所示。可以看出,随着被测信号周期的逐个到来,取样 点在信号周期中的位置从前向后逐次移动,在经历了很多个信号周期后(为简单计,图 5-13 只



画出 5 个周期),由取样值的包络线可以显现被测信号的波形,不过周期比原信号长了很多倍, 如图 5-13(f)所示。因此,利用 X-Y 记录仪可以记录显示被测信号的波形。把记录仪的 X 输 入端连接到慢扫描锯齿波输出,Y输入端连接到取样积分输出信号端就能实现这种记录。

设取样脉冲相对于信号周期起始点的延迟量在每个信号周期中增加  $\Delta t$ ,如果时基锯齿波 宽度为 T<sub>R</sub>,慢扫描锯齿波宽度为 T<sub>s</sub>,时基锯齿波与慢扫描锯齿波的幅度相同,则根据 图 5-13(c)中的几何关系,可得

$$\Delta t = \frac{T_{\rm B}T}{T_{\rm s} - T_{\rm B}} \tag{5-35}$$

式中,T 为信号周期。考虑到  $T_s >>> T_B$ ,式(5-35)可简化为

$$\Delta t \approx \frac{T_{\rm B}T}{T_{\rm s}} \tag{5-36}$$

扫描式取样积分的工作过程是一种移动平均式的积分,如图 5-14 所示。图中,x(t)是被 测信号波形,取样积分器对  $T_g$  时段内(虚线框 内)的x(t)进行积分,得到一个 $u_{o}(t)$ 输出值,在 信号的下一个周期虚线框向右移动一个小小的 时段  $\Delta t$ ,再次进行积分。重复上述过程直到扫描 完要测量的时段,就像积分框沿着信号周期向前 移动一样, 所以这种积分方式又叫作运转积分 (running integration),或称 Boxcar 积分。

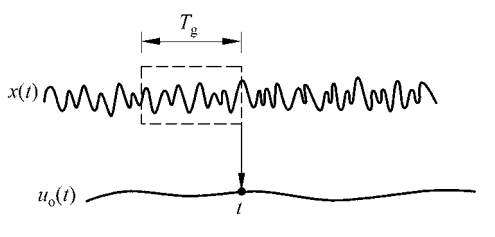


图 5-14 扫描式移动取样积分示意图

任何信号都可以分解成不同频率分量的组合,设x(t)的频率为 $\omega$ 的分量为

$$x_{\rm i}(t) = V_{\rm m} \exp(\mathrm{j}\omega t) \tag{5-37}$$

式中, $V_{\rm m}$  为该频率分量的幅度,则在时刻t 的积分平均结果为

$$\begin{split} u_{o}(t) &= \frac{1}{T_{g}} \int_{t-T_{g}}^{t} V_{m} \exp(j\omega t') dt' \\ &= \frac{V_{m} \exp(j\omega t')}{j\omega T_{g}} \bigg|_{t-T_{g}}^{t} = \frac{V_{m} \exp(j\omega t)}{j\omega T_{g}} [1 - \exp(-j\omega T_{g})] \\ &= \frac{x_{i}(t)}{j\omega T_{g}} [1 - \cos(\omega T_{g}) + j\sin(\omega T_{g})] \\ &= x_{i}(t) \exp(-j\omega T_{g}/2) \frac{\sin(\omega T_{g}/2)}{\omega T_{g}/2} \end{split} \tag{5-38}$$

对比式(5-37)和式(5-38)可得,取样积分的频率响应为

$$|H(\omega)| = \frac{|u_0|}{|x_i|} = \frac{\sin(\omega T_g/2)}{\omega T_g/2}$$
 (5-39)

上述结论也可以由下面的数学推导得出。对于图 5-14 所示移动取样积分过程,时刻 t 积 分器的输出为

$$u_{o}(t) = \frac{1}{T_{o}} \int_{t-T_{o}}^{t} x(u) du$$

式中的  $T_a$  为固定积分时间。积分器在时刻  $t-\tau$  的输出为

$$u_{o}(t-\tau) = \frac{1}{T_{\sigma}} \int_{t-\tau-T_{\sigma}}^{t-\tau} x(v) dv$$

积分输出  $u_o(t)$ 的自相关函数为

$$\begin{split} R_{u_{0}}(\tau) = & E \left[ u_{0}(t) u_{0}(t - \tau) \right] = E \left[ \frac{1}{T_{g}} \int_{t - T_{g}}^{t} x(u) du \cdot \frac{1}{T_{g}} \int_{t - \tau - T_{g}}^{t - \tau} x(v) dv \right] \\ = & \frac{1}{T_{g}^{2}} \int_{t - T_{g}}^{t} du \cdot \int_{t - \tau - T_{g}}^{t - \tau} dv E \left[ x(u) x(v) \right] \\ = & \frac{1}{T^{2}} \int_{t - T_{g}}^{t} du \cdot \int_{t - \tau - T_{g}}^{t - \tau} dv R_{x}(u - v) \end{split} \tag{5-39a}$$

根据式(1-37),有

$$R_{x}(u-v) = \frac{1}{2\pi} \int_{-\infty}^{\infty} S_{x}(\omega) e^{j\omega(u-v)} d\omega$$

将上式代入式(5-39a),并改变积分顺序,得

$$R_{u_o}(\tau) = \frac{1}{T_a^2} \cdot \frac{1}{2\pi} \int_{-\infty}^{\infty} S_x(\omega) d\omega \int_{t-T_g}^{t} e^{j\omega u} du \cdot \int_{t-\tau-T_g}^{t-\tau} e^{-j\omega v} dv$$
 (5-39b)

上式中,对 u 的积分为

$$\int_{t-T_{\sigma}}^{t} e^{j\omega u} du = \frac{e^{j\omega t} (1 - e^{-j\omega T_{g}})}{j\omega}$$

对 v 的积分为

$$\int_{t-\tau-T_{g}}^{t-\tau} e^{-j\omega v} dv = \frac{e^{-j\omega(t-\tau)} (1 - e^{j\omega T_{g}})}{-j\omega}$$

它们的乘积为

$$e^{j\omega\tau} \frac{\sin^2(\omega T_g/2)}{(\omega/2)^2}$$

代入式(5-39b),得

$$R_{u_o}(\tau) = \frac{1}{2\pi} \int_{-\infty}^{\infty} S_x(\omega) \frac{\sin^2(\omega T_g/2)}{(\omega T_g/2)^2} e^{j\omega\tau} d\omega$$

根据式(1-37)所表示的自相关函数与功率谱密度的关系,由上式的被积函数可以看出, $u_0(t)$ 的功率谱密度为

$$S_{u_o}(\omega) = S_x(\omega) \frac{\sin^2(\omega T_g/2)}{(\omega T_z/2)^2}$$

与式(1-60)对比,可知 Boxcar 积分的频率响应函数为

$$|H(\omega)| = \frac{\sin(\omega T_{\rm g}/2)}{\omega T_{\rm g}/2}$$
 (5-39c)

上式与式(5-39)的结果相同。据此可画 出取样积分器的幅频响应曲线,如图 5-15 所示。

由时基电路产生的  $T_B$  锯齿波的起始点及斜率都可以根据需要进行调节,这有利于选择恢复波形的位置和宽度。例如,图 5-16(a)中的  $T_B$  覆盖了被测波形的大部分,而图 5-16(b)中  $T_B$  只覆盖了被测波形的中间部分。

在实际仪器中,一般都把图 5-9 电

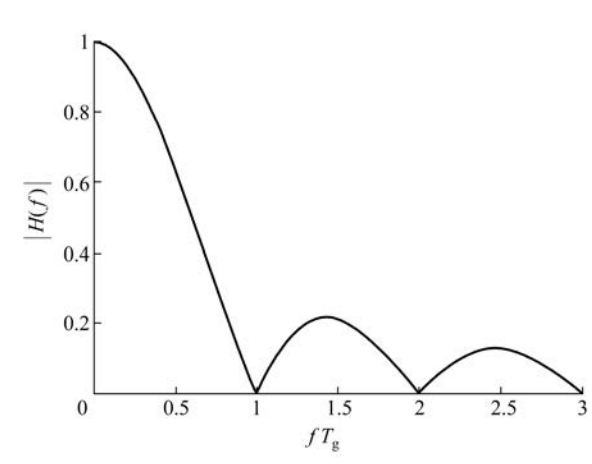


图 5-15 线性取样积分的幅频响应曲线

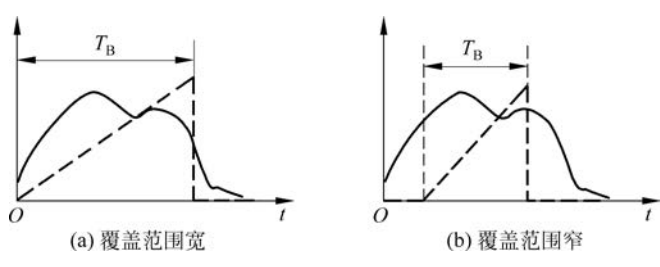


图 5-16 T<sub>B</sub> 变化与波形恢复的关系

路和图 5-12 电路组合在一起,由使用者选择定点或扫描工作方式,如图 5-17 所示。当开关 K<sub>1</sub> 打到上部时为单点工作方式; 当 K<sub>1</sub> 打到下部时为扫描工作方式。

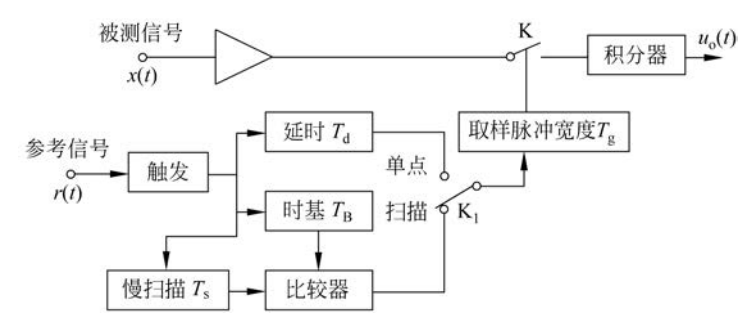


图 5-17 具有单点和扫描两种工作方式的取样积分器结构框图

#### 5.4 取样积分器的参数选择及应用

#### 取样积分器的参数选择 5.4.1

## 1. 取样脉冲宽度 $T_g$ 的选择

取样脉冲宽度  $T_g$  不能选得太宽,否则会造成信号中高频分量的损失,使得恢复的信号失 真。下面以正弦信号为例,说明取样脉冲宽度  $T_a$  的选择原则。

对于图 5-18 所示的正弦波  $x(t) = V_{\text{m}} \sin \omega t$ ,以取样脉冲宽度  $T_{\alpha}$  对 x(t)取样,设取样脉 冲的中心时刻为 t<sub>0</sub>,则信号取样后的输出电压为

$$x(t) = V_{\mathrm{m}} \sin \omega t$$
,  $t_{\mathrm{0}} - \frac{T_{\mathrm{g}}}{2} \leqslant t \leqslant t_{\mathrm{0}} + \frac{T_{\mathrm{g}}}{2}$ 

图 5-18 正弦波定点取样

经积分器积分后的输出为

$$u_{o}(t_{0}) = \int_{t_{0} - \frac{T_{g}}{2}}^{t_{0} + \frac{T_{g}}{2}} V_{m} \sin \omega t \, dt = \frac{2V_{m}}{\omega} \sin \left(\frac{\omega T_{g}}{2}\right) \sin(\omega t_{0})$$

$$x(t)$$

$$V_{m}$$

式(5-40)是对任何  $\omega$  都适合的结果。当频率  $\omega$  很低时, $\omega T_g \rightarrow 0$ ,  $\sin(\omega T_g/2) \approx \omega T_g/2$ , 式(5-40)可以近似为

$$u_{o}(t_{0}) \approx \frac{2V_{m}}{\omega} \frac{\omega T_{g}}{2} \sin(\omega t_{0})$$
 (5-41)

对比式(5-40)与式(5-41)可知,当频率较高时,因为  $\sin(\omega T_g/2) < \omega T_g/2$ ,积分输出电压会下 降,所以会引起信号中高频分量的损失,损失程度可表示为

$$A = \frac{u_{\circ} \mid_{\omega}}{u_{\circ} \mid_{\omega \to 0}} = \frac{\sin(\omega T_{g}/2)}{\omega T_{g}/2}$$
 (5-42)

式(5-42)与式(5-39c)的结果相同。式(5-42)说明,取样积分对被测信号高频分量的衰减系数 A 与  $fT_g$  相关,根据式(5-42)可画出 A 与  $fT_g$  的关系,如 图 5-19 所示。若要求取样积分对被恢复信号的最高频率  $f_c$ 

$$f_{c}T_{g} \leq 0.42$$

的衰减不大于 3dB,即要求  $A \ge 1/\sqrt{2}$ ,则由式(5-42)得

或

$$T_{g} \leqslant 0.42/f_{c}$$
 (5-43)

可见,希望恢复的信号频率越高,要求取样脉冲宽度  $T_s$ 越窄。式(5-43)与式(5-22)及式(5-24)对  $T_g$  的要求基本 一致。

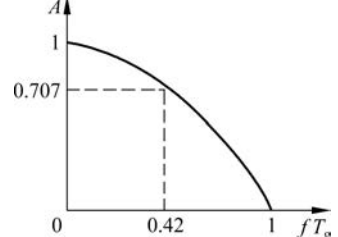


图 5-19 取样积分衰减系数 A 与 fT。的关系

如果要恢复的信号波形包含很陡的上升沿或下降沿,则取样脉冲宽度  $T_a$  必须很窄。根 据脉冲技术和宽带放大器的分析,脉冲上升时间 t, 和频带宽度的关系为[12]

$$f_{\rm c} \approx 0.35/t_{\rm r}$$
 (5-44)

由式(5-44)可见,信号波形的上升沿或下降沿越陡,则信号的最高频率  $f_c$  越高, $T_g$  应该越窄。 但是  $T_{\rm g}$  也不能选得太窄,从后面的分析可知, $T_{\rm g}$  越窄,测量时间就越长。式(5-43)和式(5-44) 可以用作取样脉冲宽度  $T_{g}$  的选择原则之一,实际应用中还要与测量时间综合权衡。

### 2. 时基锯齿波宽度 $T_R$ 的选择

时基锯齿波的起始点及斜率都可以根据需要进行调节, $T_{\rm B}$ 的范围取决于被测信号周期 中需要恢复的区段长度,考虑到各种不确定因素,选择  $T_{\rm B}$  时,要在测量区段的两端都留有一 定的余地。

## 3. 积分器时间常数 $T_c = RC$ 的选择

根据取样积分器的工作原理,对于指数式取样积分器,在每个取样脉冲作用期间,取样开 关闭合对积分电容充电,充电时间为  $T_g$ ; 而在两次取样脉冲间隔期间,电容电压保持不变,如 图 5-5(b)所示。对于指数式门积分器, 当 N 次取样总的积分时间  $NT_a$  接近 5 倍的积分器时 间常数时,信号累积速度减慢,信噪比改善很少。在两倍的时间常数内,信噪比改善得比较明 显。根据式(5-31)可得

$$T_{c} = \frac{(SNIR)^{2} T_{g}}{2} \tag{5-45}$$

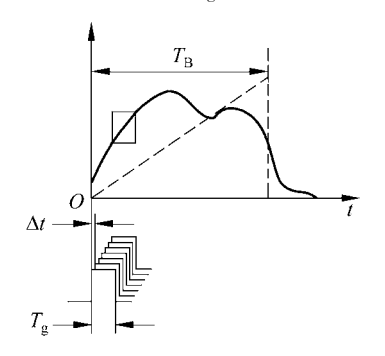
而对于线性门积分器,信噪比的改善不受积分器时间常数的限制,仅受电路的动态范围限制。 取样积分次数 N 越大,信噪改善比 SNIR 越大,两者之间的关系为

$$SNIR = \sqrt{N} \tag{5-46}$$

这时就要根据取样脉冲宽度、测量范围、慢扫描测量时间的要求,综合考虑来确定积分时间常数。

## 4. 慢扫描时间 $T_c$ 的选择

设取样脉冲  $T_{\sigma}$  相对于信号周期起始点的延迟量在每个信号周期中增加  $\Delta t$ ,在许多个被



取样脉冲相对于被测信号 图 5-20 周期起始点移动示意图

测信号周期内, T。相对于被测波形移动的情况示于 图 5-20。被测信号的每一点只有在取样脉冲宽度 Tg 内才 能被取样,而  $T_{\alpha}$  又以时间间隔  $\Delta t$  在跳跃移动。所以,对 于被测信号的任何一点,被取样次数为

$$N = \frac{T_g}{\Delta t} \tag{5-47}$$

将式(5-36)代入式(5-47)得

$$N = \frac{T_{\rm g}T_{\rm s}}{T_{\rm B}T} \tag{5-48}$$

将式(5-48)代入式(5-46)得

$$SNIR = \sqrt{\frac{T_{\rm g}T_{\rm s}}{T_{\rm B}T}} \tag{5-49}$$

对于线性门积分器,给定所要求的 SNIR 后,由式(5-49)可以估计出需要的测量时间  $T_s$ 

$$T_{s} \geqslant \frac{(SNIR)^{2} T_{B} T}{T_{a}} \tag{5-50}$$

在指数式门积分器中,为了使电容充电充分,须使总的积分时间  $NT_{g}$ 比积分器的时间常 数  $T_c$  大很多。当  $NT_g=5T_c$  时,积分器充电值与稳定值之间的误差为 0.67%。若要求总的 积分时间

$$NT_g \geqslant 5T_c$$

则将式(5-48)代入上式得

$$\frac{T_{\rm g}^2 T_{\rm s}}{T_{\rm p} T} \geqslant 5 T_{\rm c}$$

或

$$T_{\rm s} \geqslant \frac{5T_{\rm B}T_{\rm c}T}{T_{\rm g}^2} \tag{5-51}$$

若按式(5-45)选择积分器时间常数  $T_c$ ,则

$$T_{s} \geqslant \frac{2.5T_{B}T(SNIR)^{2}}{T_{a}}$$
 (5-52)

由式(5-51)和式(5-52)可见,波形恢复测量的总时间 T。正比于要恢复波形宽度  $T_R$  和信 号周期 T,这是比较容易理解的。要达到的信噪改善比 SNIR 对测量时间影响很大,二者为 平方关系。

取样脉冲宽度  $T_g$  的选择要考虑两方面的因素,即既要满足被测信号频率分辨率的要求 (见式(5-43)),又要考虑测量时间的问题。如果所选  $T_{o}$  太窄导致测量时间  $T_{s}$  太长,那么电 容的漏电和放大器的漂移也会引起测量误差,所以需要综合权衡两方面的因素。

例 5-1 被测信号周期  $T=10\,\mathrm{ms}$ ,测量范围  $T_\mathrm{B}=2\,\mathrm{ms}$ ,要求信噪改善比 SNIR=10,选  $T_{\rm B}$ =3ms 以覆盖测量区, $T_{\rm g}$ =100 $\mu$ s,试求指数式取样积分器的参数  $T_{\rm c}$  和  $T_{\rm s}$ 。

解:根据式(5-45)及所要求的 SNIR 求出积分器时间常数  $T_c$  如下

$$T_{\rm c} = \frac{(SNIR)^2 T_{\rm g}}{2} = 5$$
 (ms)

再根据式(5-51)计算总的测量时间

$$T_{\rm s} \geqslant \frac{5T_{\rm B}T_{\rm c}T}{T_{\rm g}^2} = 75$$
 (s)

综上所述,线性取样积分器和指数式取样积分器的参数选择过程分别如图 5-21(a)和 图 5-21(b) 所示。

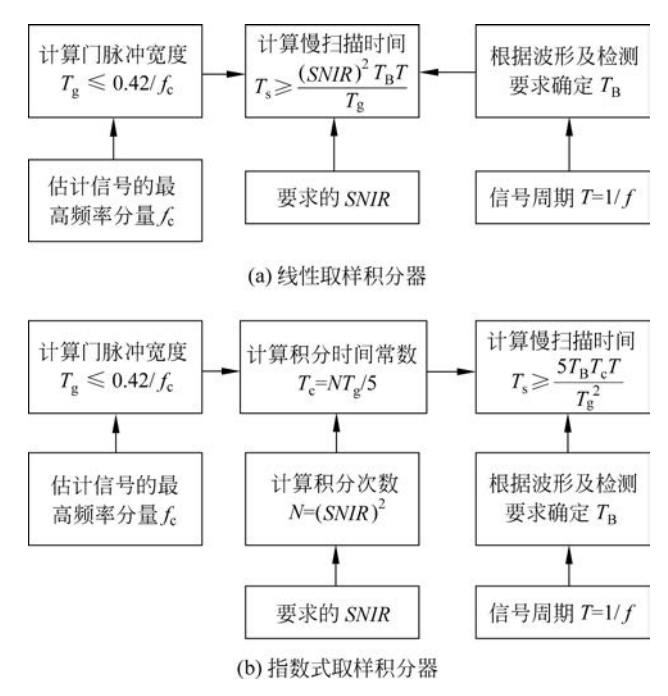


图 5-21 取样积分器参数选择过程框图

#### 5 4 2 基线取样与双通道取样积分器

#### 1. 基线取样

利用取样积分的方法来改善被测信号的信噪比是以时间为代价的。因为在被测信号的每 个周期只取样一次,为了改善信噪比,必须对很多个信号周期进行取样积分,这就对系统的稳 定性提出了很高的要求。当被测信号周期较长或要求的 SNIR 较大时,必须进行长时间的测 量,才能达到要求。而在长时间的测量过程中,由于电容漏电、放大器的零点和增益变化、其他 元器件的温度漂移和时间漂移、激励源的起伏等因素,被测信号的零点基线已经发生了变化, 称之为基线漂移。

图 5-22 示出没有漂移的信号波形和漂移后的 信号波形。可以看出,消除基线漂移对于信号的精 确测量是十分重要的。采用低漂移器件,对器件进 行老化筛选,改进电路设计等措施对改善漂移都有 一定的作用,但实际实现起来往往具有一定的困

(a) 没有漂移的信号 (b) 漂移后的信号

图 5-22 基线漂移示意

难,改善效果也很有限。而基线取样方法对于改善取样积分测量的漂移是行之有效的。

基线取样的基本原理是: 在每个信号周期内先取样一次信号的有效成分,再取样一次信号 的基线,两者相减得到扣除漂移后信号成分的有效幅值。

具有基线取样补偿的取样积分器的结构框图示于图 5-23,它包括两个相同的取样积分

器,由时基控制实现在不同时刻对信号和基线的交替选通,通过积分器1和积分器2分别对信号和基线的取样值进行积分,两者相减就在输出中消除了基线漂移。

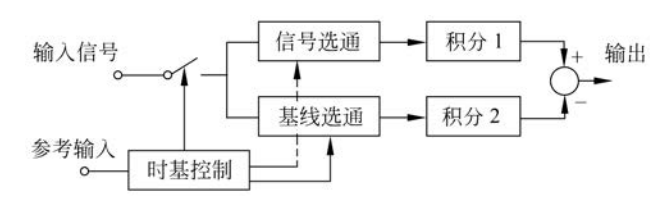


图 5-23 具有基线取样补偿的取样积分器结构框图

图 5-24 示出基线取样的工作波形。图 5-24(a)所示为被测斩波信号波形,其低电压处的起伏反映了背景噪声和基线漂移。在时基控制电路中,参考输入在每个信号周期产生一个触发脉冲,如图 5-24(b)所示;由触发脉冲触发产生一个覆盖被测信号周期的锯齿波,如图 5-24(c)所示;利用比较器将锯齿波与交替的固定电压  $V_1$  和  $V_2$  相比较,从而在时刻  $t_1$  和  $t_2$  分别产生取样脉冲 A 和 B ,如图 5-24(d)所示;用取样脉冲 A 和 B 分别对基线和有用信号进行取样,并分别积分。长时间的 A 点和 B 点交替取样积分的结果为,积分器 1 输出为信号的累积平均值,积分器 2 输出为基线的累积平均值,两者相减就实现了对基线漂移的补偿。

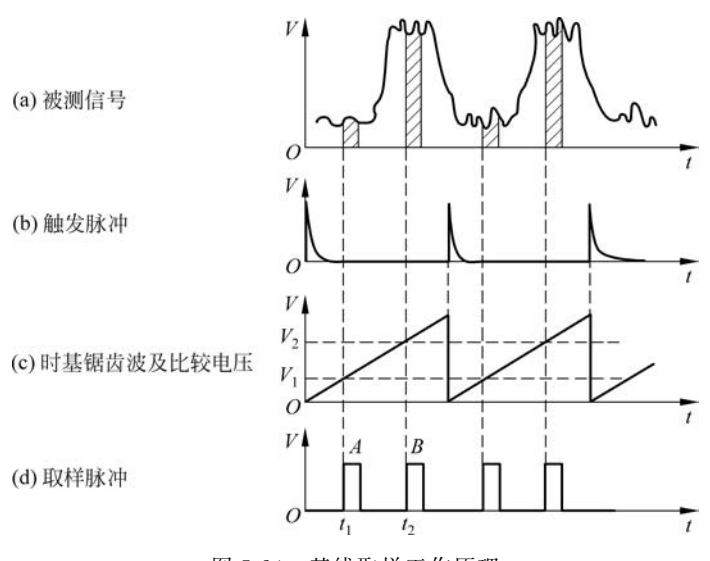


图 5-24 基线取样工作原理

如果  $V_1$  为固定电压, $V_2$  用慢扫描锯齿波  $T_s$  来代替,则上述交替取样积分过程对于基线为定点取样积分,而对于信号为扫描式取样积分,这样的取样积分可以用来恢复被测信号所需部分的波形,又克服了基线漂移的不利影响。

## 2. 双通道取样积分器

双通道取样积分器系统由两路基线取样积分器组成,如图 5-25(a)所示。它利用两路取样积分器分别对被测信号和作为标准的另一路信号进行消除基线的取样积分,将被测量与标准量对比,以消除由信号基线以及激励源起伏造成的误差,使测量更为准确和可靠。

信号通道对被测信号及其基线进行取样积分,以消除信号基线漂移的影响,输出为 A。标准通道对用作激励源的标准信号及其基线进行取样积分,消除标准通道基线漂移的影响,输出为 B。之后进行 A/B 的运算,对测试结果进行归一化处理,从而克服激励源起伏引起的测量误差。图 5-25(b)示出对信号和标准分别取样的波形。为了实现各取样点的准确定时,确定取样脉冲宽度等功能,系统还必须包括时基和延时控制部件,在图中未示出。

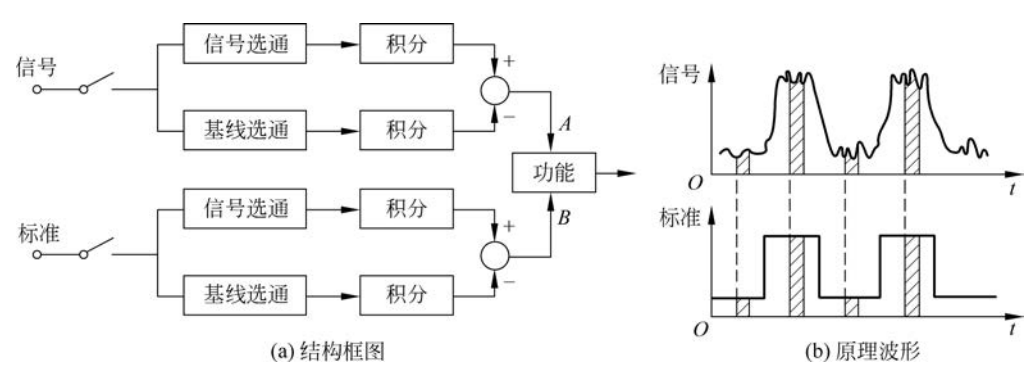


图 5-25 双通道取样积分器

例如在激光测量中,当测量时间较长时,激光光源的强度可能发生变化,从而导致测量误差。在这种情况下可以利用 A 通道作基本测量,利用 B 通道检测光源的强度,从而补偿光源强度变化带来的影响。

除了常用的 A/B 运算外,功能插件还可以选择 A 输出、B 输出、A-B、 $A \times B$ 、Ig(A/B) 等功能,给测试带来很大方便。

## 5.4.3 多点取样积分器系统

上面介绍的定点式和扫描式取样积分器都属于单点式取样,即每个信号周期内只取样积分一次,所以取样效率很低,需要经过很多信号周期才能得到测量结果。当被测信号重复频率较低时,必然导致检测时间太长。尤其是当被测信号包含快速跳变沿时,为了恢复被测信号的高频分量,根据式(5-43),取样脉冲宽度  $T_{\rm g}$  必须很窄。这样一来,在扫描式工作方式中,为了恢复被测信号波形,由式(5-51)计算出的测量时间  $T_{\rm s}$  会很长,电容漏电和电路漂移都会造成测量结果的误差。

例如,对于 10 Hz 的被测信号,若选  $T_{\rm g}=0.1$  ms,要求 SNIR=100,全周期恢复波形则要求  $T_{\rm B}=T=0.1$  s,那么按式(5-52)计算出的测量时间  $T_{\rm s}\approx29$  天,这当然是很不现实的。

多点式取样积分器是在每个被测信号周期内取样多点,其电路相对要复杂一些,但是对被测信号的利用率高,经过不太多的信号周期就可以得到测量结果。图 5-26 示出多点式取样积分器的电路结构,它包括多个电子开关和积分电容,相当于多个单点取样积分器组合在一起。在取样时间控制逻辑的控制下,各个电子开关轮流闭合,在每个取样脉冲  $T_g$  期间只有一个开关闭合,M 个开关轮流闭合一次,扫描完一个被测信号周期中要测量的时段。当下一个信号周期到来时,重复上述工作过程。这样就可以在信号周期的不同时段对不同的电容充电,达到多点取样积分的目的。

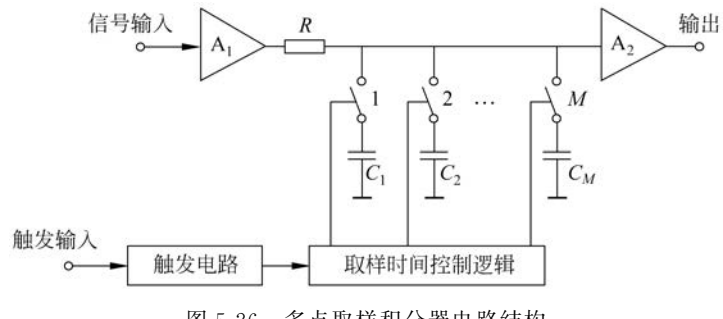


图 5-26 多点取样积分器电路结构

多点取样积分器工作波形示于图 5-27,图中,T 为信号周期, $T_a$  为取样脉冲宽度,每个信 号周期只画出了3个取样间隔和3个相应的积分器。注意,图5-26中轮流闭合的电子开关具 有两个作用:一个作用是在信号周期的不同取样时段开关切换到不同的电容进行积分:另一 个作用是使输出放大器的输入端也轮流切换到不同电容的积分电压上,也就是实现图 5-27 中 轮流输出选择的功能。因此,输出放大器 A。的输出波形就反映了扫描式取样积分的结果。 经过多个信号周期的扫描式取样积分,输出波形的信噪比将得以改善,所实现的 SNIR 正比 于信号周期数 i 的平方根。

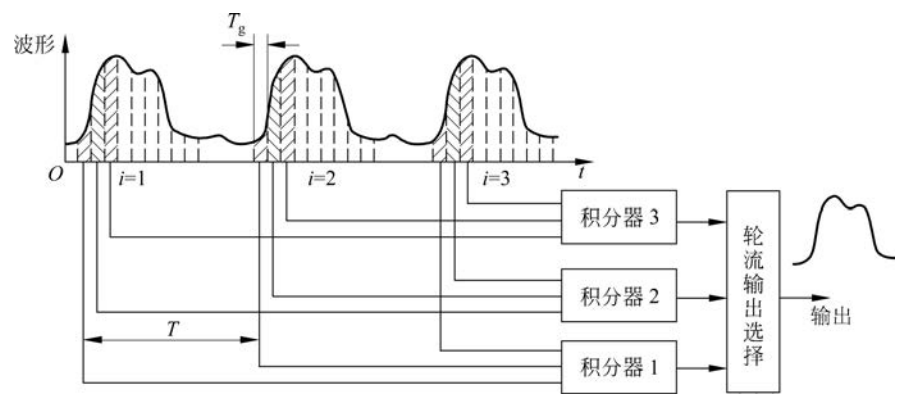


图 5-27 多点取样积分器工作波形示意图

图 5-26 电路正常工作的关键是,在信号周期中需要测量的时段内,取样时间控制逻辑电 路依次给各个电子开关输出取样脉冲,其余电路比较容易实现。这种多点取样积分器成本低、 取样效率高、工作速度快。但是,由于每个取样点都需要一套单独的电子开关和积分电容,所 以每个信号周期中的取样点数不可能太多,一般为50~100点。此外因为电容存在漏电问题, 所以信号电压保持时间有限,很难实现对低频信号的恢复。

#### 取样积分器应用实例 5.4.4

取样积分器已广泛应用于物理、化学、生物学以及工业检测技术等许多领域,国内外已经 研制开发出若干种实用的取样积分检测仪器。这里只列举几种比较典型的应用实例。

### 1. 材料的光学特性检测

为了检测某种材料的光学特性,例如光学材料对某种特定波长的单色光的吸收特性,可以 利用马达带动等距开槽的斩光盘,使经过斩波的单色光透射过被测材料样品,如图 5-28 所示。 光电倍增管 PMT 将透射过被测材料的斩波光转换为电信号,其中包含杂散光、漏电流、暗电 流等各种噪声。利用定点式取样积分提高输出信号的信噪比,并利用基线取样补偿基线的漂 移,就可以根据输出信号判别被测材料的吸收特性。在斩波盘两侧装设小灯和光敏器件,光敏 器件输出的脉动信号可以用作取样积分的参考信号。

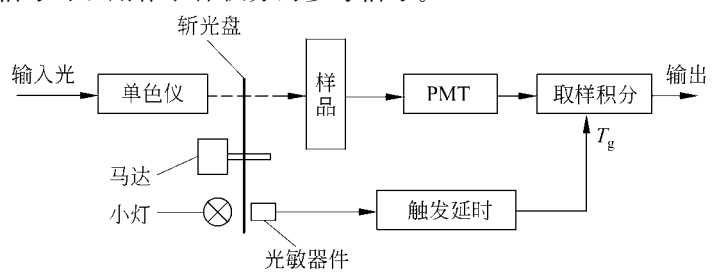


图 5-28 利用斩波光检测材料的光吸收特性

#### 2. 霍尔效应测量

对于如图 5-29 所示的半导体薄片,若在它的两端通以控制电流 I,并在薄片的垂直方向

施加磁感应强度为 B 的磁场,则在磁场和电流的垂直方向上将产生电动势  $V_{\rm H}$ ,这种现象称为霍尔效应(Hall effect)。

霍尔效应的产生是由于半导体中的运动电荷 受洛伦兹(Lorentz)力作用的结果。设在N型半导 体薄片的控制电流端通以电流 *I*,则半导体中电子 的运动方向与电流方向相反。如果在垂直于半导

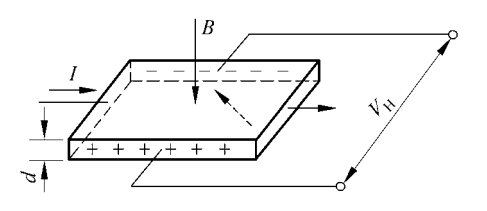


图 5-29 霍尔效应原理图

体薄片的方向上施加磁场 B,洛伦兹力的作用会使电子向一边偏转,见图 5-29 中的虚线箭头方向。这会导致该边的电子堆积,而另一边则积累正电荷,于是产生电场。该电场阻止运动电子的继续偏转,当电场作用力与洛伦兹力相等时,电子的积累就达到动态平衡。这时,在薄片积累了电荷的两个端面之间建立的电场称为霍尔电场,相应的电位差称为霍尔电势  $V_{\rm H}$ ,当 I 与 B 垂直时, $V_{\rm H}$  的大小为

$$V_{\rm H} = R_{\rm H} IB/d$$
 (V)

式中, $R_H$  为霍尔常数,取决于材料的物理性质, $m^3/C$ ; I 为控制电流,A; B 为磁感应强度,T; d 为霍尔元件的厚度,m。由上式可知,对于给定的霍尔元件,如果给定 I 和 B 中的任一项,就可以由  $V_H$  测出另一项,而且检测的特性曲线是线性的。在实际应用中常使用霍尔元件检测位移或磁场。

图 5-30 所示是利用霍尔元件检测磁场强度,由于干扰磁场的存在,霍尔元件的输出电势常常夹杂着明显的噪声。利用取样积分器抑制噪声,可以使输出信噪比得以改善。霍尔元件

输出电势中还包含了不等位电势、寄生直流电势、感应电势、温度误差等因素,这些因素都会影响测量结果的精确度。如果霍尔元件的激励电流 I 是频率为 f 的方波,这相当于对磁场强度进行斩波测量,那么前面介绍的基线取样方法可以用来补偿检测元件固有的偏差以及基线的漂移。

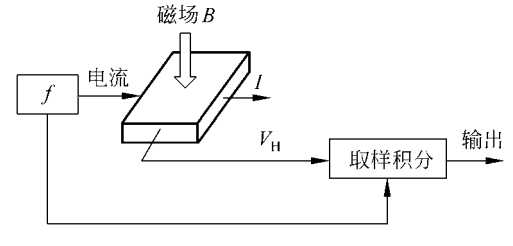


图 5-30 利用取样积分器检测霍尔电势

#### 3. 利用超声波检测材料特性

超声波是频率高于 20kHz 的机械振动波。当超声波入射到某种物体中时,部分超声波被反射,部分超声波被吸收,部分超声波透射过该物体。当超声发射源与反射物体之间存在相对运动时,接收到的超声频率会发生偏移,即出现多普勒效应。超声波的这些性质可以用来检测多种物理量,例如距离、流速、料位等,还可以用来探测构件中的裂缝、气泡或其他缺陷,称之为超声波探伤。此外,超声波在医学诊断领域也获得广泛应用。

超声波发送器和接收器一般都是由压电材料构成,在受到电脉冲激励时,超声波传感器会发送一串短时段逐渐衰减的超声波,频率等于其共振频率。如果激励电压是频率等于其共振频率的持续正弦波,则超声波传感器会发送持续的超声波;如果超声波传感器接收到等于其共振频率的超声波,它又可以把超声波转换为电信号。

利用超声波检测材料特性的原理框图示于图 5-31。图中的脉冲发生器产生不断重复的短时脉冲,该短时脉冲经驱动电路激励超声波发送探头发送断续的但波形重复的超声波。超声波接收探头接收透射过被测材料的超声波,并将其转换为比较微弱的电信号,电信号经放大

后再由取样积分器提高信噪比。通过对被测材料声波速度特性和声波衰减特性的研究,可以 揭示材料的弹性系数和材料中压力、张力的关系。由脉冲发生器输出的重复脉冲是超声波的 激励源,它可以用作取样积分的同步参考信号。

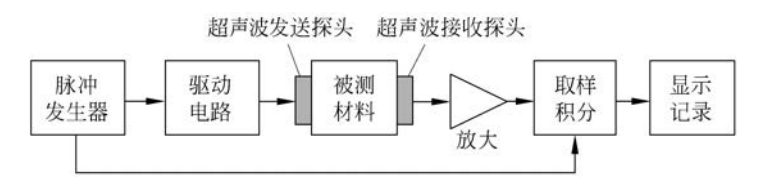


图 5-31 超声波检测材料特性

### 4. 荧光光谱测量

在荧光光谱测量中,通过测量荧光的衰减特性可以了解其发光机理。图 5-32 所示是利用 双通道取样积分器测量纳秒荧光光谱的结构框图。可调染料激光器光源经分光镜分成两路光 束 A 和 B, 光束 A 照射样品激发荧光, 经单色仪用光电倍增管检测; 光束 B 用于对激光源强 度进行检测。因为测量时间长,光源强度会发生变化,利用双通道取样积分器作 A/B 运算, 可以补偿光源强度的变化,消除光源波动的影响。

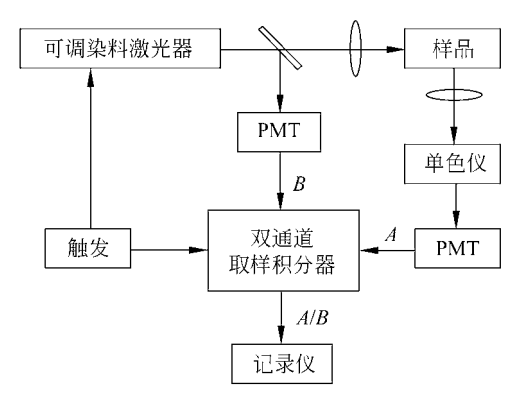


图 5-32 双通道取样积分器测量荧光光谱

#### 5.5 数字式平均

方法

取样积分 数字式平均

随着集成电路技术和计算机技术的日益发展,数字处理方法得到越来越广泛的应用。与 单点取样积分器系统相比,多点数字式平均方法在每个信号周期内取样多次,信号利用率高, 利用数字式累加代替模拟电路积分,并利用数字式存储器存储处理结果,没有漏电和漂移问 题。这些特点使得数字式多点平均方法得到广泛应用,计算机的普及也为这种推广应用提供 了条件。

模拟式取样积分和数字式多点平均的特点对比示于表 5-1。

 $\sqrt{N}(N)$  为累加次数)

SNIR	取样效率	频率	保持时间	取样脉冲宽度 Tg
$\sqrt{2T_{\rm c}/T_{\rm g}}$	$T_{\rm g}/T \times 100\%$	适于高频	差(电容)	窄(分辨好)

100% 适于低频 好(存储器) 不太窄(分辨差)

表 5-1 取样积分和数字式多点平均方法的特点比较

从表 5-1 可见,取样积分和数字式平均各有特点,取样积分的取样门可以做得很窄,适用 于恢复高频信号; 数字式平均必须用 A/D 转换器将模拟信号转换为数字信号。因为模数转 换需要时间,取样脉冲宽度不容易做得很窄,所以更适用于低频和中频信号。但是,随着微电 子技术的发展,取样保持电路和 A/D 转换器芯片的工作速度越来越快,计算机的运行速度也 在不断提高。这样一来,数字式平均的取样脉冲宽度也可以做得很窄,也能适应恢复高频信号 的需要,所以数字式平均得到了越来越广泛的应用。

#### 数字式平均的原理及实现 5 5 1

在微弱信号检测领域中,常常遇到有限时段的信号重复出现许多次,相邻出现的信号之间 的时间间隔可能是固定值,也可能是变化量。这样的信号称之为重复信号。当各次重复信号 之间的时间间隔为固定值时,该信号就是周期信号。如果这样的信号被噪声污染,通过对多次 重复的信号进行数字式平均,就可以改善其信噪比。

数字式平均的工作过程为:由采样保持器对被测信号进行取样,再由 A/D 转换器将被测 信号取样值变换为数字量,并将其存储在寄存器或存储器中:累加平均的运算过程由微处理 单元(MPU)或数字信号处理器(DSP)完成,运算结果存储在寄存器或存储器中,并可由 D/A 转换器输出相应的模拟量。

图 5-33 所示为周期信号的取样和数字式平均运算过程,被测信号的周期为 T,在每个周 期的起始处触发取样过程,每个周期内均匀取样 M 次,取样时间间隔为  $\Delta t$  。对比图 5-33 与 图 5-27 可见,两者的工作过程非常类似,只不过实现方法不同。

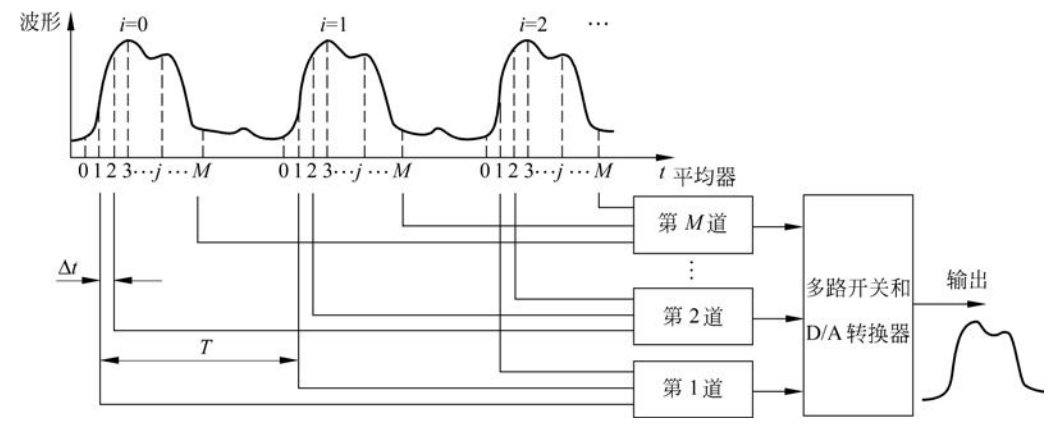


图 5-33 数字式平均的取样和运算过程

对于第 ; 道取样信号,数字式平均的运算过程可以表示为

$$A(j) = \frac{1}{N} \sum_{i=0}^{N-1} x(t_j + iT), \quad j = 1, 2, 3, \dots, M$$
 (5-53)

式中,T 为被测信号周期, $t_i$  是第一次对第 j 道信号取样的时刻。对于  $j=1,2,3,\cdots,M$ ,按 式(5-53)分别计算出各种 i 所对应的数字平均值 A(i),并经过 D/A 转换器依次输出 A(i), 就可得到平均后的被测信号波形。因为被测信号为确定性的信号,所以多次平均后仍然为信 号本身: 而干扰噪声为随机噪声,多次平均后其有效值会大为减少,从而提高信噪比。

对于周期不同的重复信号,运用数字式平均的关键是如何确定每段信号的起始点,换言 之,取样过程要与信号的出现保持同步。如果重复信号是由某个其他信号源激励产生的,即使 该激励信号是非周期或不规则的,那么也可以利用该激励信号作为每次重复开始取样的同步 信号。如果无法从其他信号源或先验知识确定每段信号的起始点,则只能由测量信号本身来 确定各次重复的起始点,例如利用被测信号的幅度或斜率来触发取样过程。对于噪声污染严 重的信号,上述确定起始点的方法会遇到困难,必须采用比较复杂的检测和处理方法,这往往 需要一定的时间。为了在确定信号起点的过程中不丢失信号的前段数据,需要在信号通道中 设置延时环节或记录装置,这样才能在确定信号的起始点后(这需要一段时间的信号),再从起 始点处开始取样;也可以在确定信号起点的过程中就对信号进行取样和存储,确定起始点后, 再确定这些取样数据的取舍及序号。

数字式平均器的功能结构框图示于图 5-34。被测信号经预处理和取样保持(S/H),由模 数转换器(ADC)将其数字化后送入计算机进行累加,累加结果存入存储器。如果开关 K 处于 位置 B,则无反馈,当下一次取样值被数字化后,与同一序号;的存储值相累加,并将结果存入 同一地址,这就完成了一步式(5-53)所表示的线性累加平均。如果开关 K 处于位置 A,上次 的累加存储值还要经过 DAC,变换成模拟量反馈到 S/H,计算机分别对信号值和反馈值进行 取样,经运算后进行累加,这样可以实现下面将要介绍的归一化平均或指数式平均。上述所有 与时间相关的操作都由定时及控制电路来同步,以保证各步操作协调一致。平均后的数字式 信号波形可以经 DAC 作模拟量显示,也可以直接进行数字量显示。

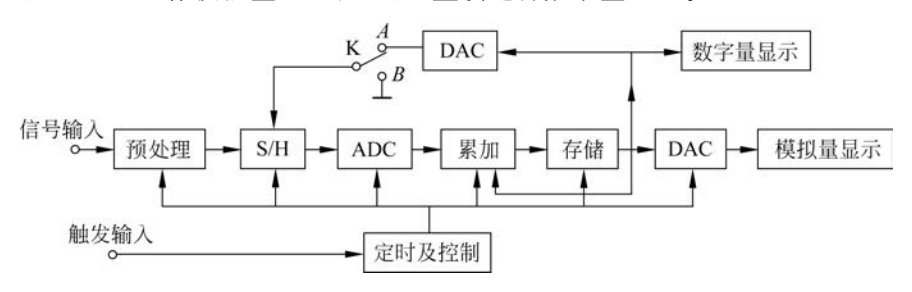


图 5-34 数字式平均器的功能结构框图

图 5-34 所表示的各种功能可以用普通计算机附加必要的接口插板来实现,也可以用单片 机附加相应的接口电路开发成专用的检测仪器,还可以开发成嵌入式微机系统与其他设备联 合使用。

#### 数字式平均的信噪改善比 5.5.2

设被测信号为

$$x(t) = s(t) + n(t)$$
 (5-54)

式中,s(t)为有用信号,n(t)为干扰噪声。设每个信号周期中的取样道数为 $j=1,2,\cdots,M,$ 取样 间隔为  $\Delta t$ ,重复次数为  $i=0,1,2,\cdots,N-1$ (见图 5-33)。第 i 道第 i 次的取样值可以表示为

$$x(t_i + j\Delta t) = s(t_i + j\Delta t) + n(t_i + j\Delta t)$$
(5-55)

式中,t; 是第i个取样周期中开始取样的时刻。因为s(t)是确定性信号,所以对于不同的采样 周期i,第j道的取样值基本相同,可以用s,来表示;而噪声n(t)是随机的,其数值既取决于 i,又取决于 i,所以式(5-55)可简记为

$$x_{ij} = s_j + n_{ij} (5-56)$$

数字式累加平均的计算过程可以表示为

$$A_{j} = \frac{1}{N} \sum_{i=0}^{N-1} x_{ij} \tag{5-57}$$

下面根据不同的情况,分析用式(5-57)所表示的数字式平均可以达到的信噪改善比 SNIR。

#### 1. 平均次数 N→∞时的 SNIR

当 N→∞时, $x_{ii}$  的平均结果为其数学期望值,由式(5-56)可得

$$E[x_{ij}] = E[s_i] + E[n_{ij}]$$

对于确定性信号  $s_i$ ,其数学期望值  $E[s_i]$ 为信号本身  $s_i$ ; 对零均值噪声  $n_{ii}$ ,其数学期望值为 零,即

$$E[n_{ii}] = 0$$

所以

$$E[x_{ij}] = s_j \tag{5-58}$$

也就是说,当平均次数  $N \rightarrow \infty$ 时,平均器输出信号的信噪比  $SNR_o = s_i / 0 = \infty$ ,达到的信噪改 善比 SNIR 也为无穷大。换言之,通过增加平均次数 N 可使 SNIR 达到任何希望的值。

#### 2. 平均次数 N 有限时的 SNIR

## 1) n;; 为高斯分布白噪声

设高斯分布零均值白噪声  $n_{ij}$  的有效值(均方根值)为  $\sigma_n$ ,则对单次取样  $x_{ij} = s_i + n_{ij}$ ,其 有用信号数值为 s;,则平均处理之前的信噪比(有效值之比)为

$$SNR_{i} = s_{i}/\sigma_{n} \tag{5-59}$$

N 次累加后的结果为

$$\sum_{i=0}^{N-1} x_{ij} = \sum_{i=0}^{N-1} s_j + \sum_{i=0}^{N-1} n_{ij}$$
 (5-60)

因为 $s_i$ 为确定性信号,N次累加后幅度会增加N倍。而噪声 $n_i$ 的幅度是随机的,累加 的过程不会是简单的幅度相加,只能从其统计量的角度来考虑。取样累加后噪声的均方值为

$$\overline{n_{ij}^2} = E[n_{0j} + n_{1j} + \dots + n_{(N-1)j}]^2 = E\left[\sum_{i=0}^{N-1} n_{ij}^2\right] + 2E\left[\sum_{i=0}^{N-2} \sum_{m=i+1}^{N-1} n_{ij} n_{mj}\right]$$
(5-61)

式中右边的第1项表示噪声的各次取样值平方和的数学期望值,第2项表示噪声在不同时刻 的取样值两两相乘之和的数学期望值。

只要信号周期 T 足够大,则不同时刻的噪声取样值  $n_{ii}$  与  $n_{mi}$  ( $i \neq m$ ) 互不相关,其乘积 的数学期望值为零,式(5-61)右边第2项为零,则

$$\overline{n_{ij}^{2}} = E\left[\sum_{i=0}^{N-1} n_{ij}^{2}\right] = N\sigma_{n}^{2}$$
(5-62)

累加后噪声的有效值为

$$\sigma_{no} = (\overline{n_{ij}^2})^{1/2} = \sqrt{N\sigma_n^2} = \sqrt{N}\sigma_n \tag{5-63}$$

累加后信号的电压值为

$$\sum_{i=0}^{N-1} s_j = N s_j \tag{5-64}$$

累加后输出信号的信噪比(有效值之比)为

$$SNR_{o} = \frac{Ns_{j}}{\sqrt{N}\sigma_{n}} = \frac{\sqrt{N}s_{j}}{\sigma_{n}}$$
 (5-65)

由式(5-59)和式(5-65)可得

$$SNIR = \frac{SNR_{o}}{SNR_{i}} = \sqrt{N}$$
 (5-66)

式(5-66)说明,当污染噪声为白噪声时,N次不同时刻取样值的累积平均可以使信噪比 改善 $\sqrt{N}$  倍,这就是常说的  $\sqrt{N}$  法则。在取样积分的分析过程中,已经多次使用过这一结论。

## 2) n<sub>ii</sub> 为高斯分布有色噪声

对于零均值有色噪声,式(5-61)中右边第2项所表示的噪声的不同时刻取样值两两相乘

之和的数学期望值不为零,设|i-m|=k,考虑到

$$E[n_i, n_{(i+k)}] = R_n(k) \tag{5-67}$$

式中, $R_n(k)$ 表示噪声的自相关函数, $R_n(0) = \sigma_n^2$ 表示噪声的功率。取样累加后噪声的均方值为

$$\overline{n_{ij}^2} = E[n_{0j} + n_{1j} + \dots + n_{(N-1)j}]^2 = E(\sum_{i=0}^{N-1} n_{ij}^2) + 2E(\sum_{i=0}^{N-2} \sum_{m=i+1}^{N-1} n_{ij} n_{mj})$$

$$=NR_{n}(0)+2\sum_{k=1}^{N-1}(N-k)R_{n}(k)$$
(5-68)

平均后噪声的均方值为

$$\sigma_{no}^{2} = \overline{n_{ij}^{2}}/N^{2} = \left[R_{n}(0)/N\right] \left[1 + \frac{2}{N} \sum_{k=1}^{N-1} (N-k)\rho_{n}(k)\right]$$
 (5-69)

式中

$$\rho_n(k) = R_n(k) / R_n(0) \tag{5-70}$$

为噪声 n(t)的归一化自相关函数。考虑到  $R_n(0) = \sigma_n^2$ , 平均后输出信号的信噪比(有效值之 比)为

$$SNR_{o} = S_{j} / \sigma_{no} = s_{j} / \sqrt{\frac{\sigma_{n}^{2}}{N} \cdot \left[ 1 + \frac{2}{N} \sum_{k=1}^{N-1} (N - k) \rho_{n}(k) \right]}$$
 (5-71)

由式(5-59)和式(5-71)可得

$$SNIR = \frac{SNR_{o}}{SNR_{i}} = \sqrt{N} / \sqrt{1 + \frac{2}{N} \sum_{k=1}^{N-1} (N-k) \rho_{n}(k)}$$
 (5-72)

当污染噪声 n(t)为白噪声时,对于  $k \neq 0$ ,其归一化自相关函数  $\rho_n(k) = 0$ ,式(5-72)就简 化为式(5-66)。对比式(5-72)与式(5-66)可知,在污染噪声为有色噪声的情况下,数字式平均 所达到的信噪改善比要低于白噪声的情况。

#### 5.5.3 数字式平均的频域分析

### 1. 用傅里叶变换方法分析

被测信号 x(t)的第 i 个取样 x(t-iT)可以看成是 x(t)与  $\delta(t-iT)$ 的卷积,即

$$x(t - iT) = x(t) * \delta(t - iT)$$
(5-73)

式中,T 为取样周期。数字式平均的结果为

$$A(t) = \frac{1}{N} \sum_{i=0}^{N-1} x(t - iT)$$
 (5-74)

将式(5-73)代入式(5-74)得

$$A(t) = \frac{1}{N} \sum_{i=0}^{N-1} \left[ x(t) * \delta(t - iT) \right] = x(t) * \frac{1}{N} \sum_{i=0}^{N-1} \delta(t - iT)$$
 (5-75)

如果将平均器看作一个线性系统,其输入信号是x(t),输出信号是平均结果A(t),系统 的冲激响应函数为 h(t), 频率响应函数为  $H(i\omega)$ , 如图 5-35 所示,则

$$A(t) = x(t) * h(t) \tag{5-76}$$

A(t)x(t)h(t) $H(j\omega)$ 

对比式(5-75)与式(5-76)可知,平均器的冲激响应函数为

$$h(t) = \frac{1}{N} \sum_{i=0}^{N-1} \delta(t - iT)$$
 (5-77)

平均器系统表示 图 5-35

对式(5-77)作傅里叶变换,得平均器的频率响应函数  $H(i\omega)$ 为

$$H(j\omega) = \int_{-\infty}^{\infty} h(t) e^{-j\omega t} dt = \int_{-\infty}^{\infty} \frac{1}{N} \sum_{i=0}^{N-1} \delta(t - iT) e^{-j\omega t} dt = \frac{1}{N} \sum_{i=0}^{N-1} e^{-j\omega T}$$
(5-78)

式(5-78)右边的级数是长度有限的几何级数,求和结果可以表示为

$$H(j\omega) = \frac{1}{N} \frac{1 - e^{-jN\omega T}}{1 - e^{-j\omega T}}$$
 (5-79)

根据欧拉公式,得

$$H(j\omega) = \frac{1}{N} \frac{\sin(N\omega T/2)}{\sin(\omega T/2)} e^{-j(N-1)\omega T/2}$$
(5-80)

相应的幅频响应特性为

$$|H(j\omega)| = \frac{1}{N} \left| \frac{\sin(N\omega T/2)}{\sin(\omega T/2)} \right|$$
 (5-81)

根据极限定理有

$$\lim_{x \to 0} \frac{\sin mx}{\sin nx} = \frac{m}{n}$$

将上式关系应用于式(5-81)可知,当 $\omega T=0$ 或 $\omega T$ 为  $2\pi$ 的整数倍时, $|H(j\omega)|=1$ 。

根据式(5-81),图 5-36 示出对于几种不同 N 的 $|H(i\omega)|$ 图形。

由式(5-81)和图 5-36 所示图形可见,当平均次数 N=1 时,其传输特性为全通滤波器;当 N>1 时,平均器的传输特性表现为梳状滤波器,每个齿是一个带通滤波器,各齿的中心频率位于 fT 为整数处, $|H(j\omega)|$ 的最大值为 1。N 值越大,各齿所表示的带通滤波器的带宽越窄。

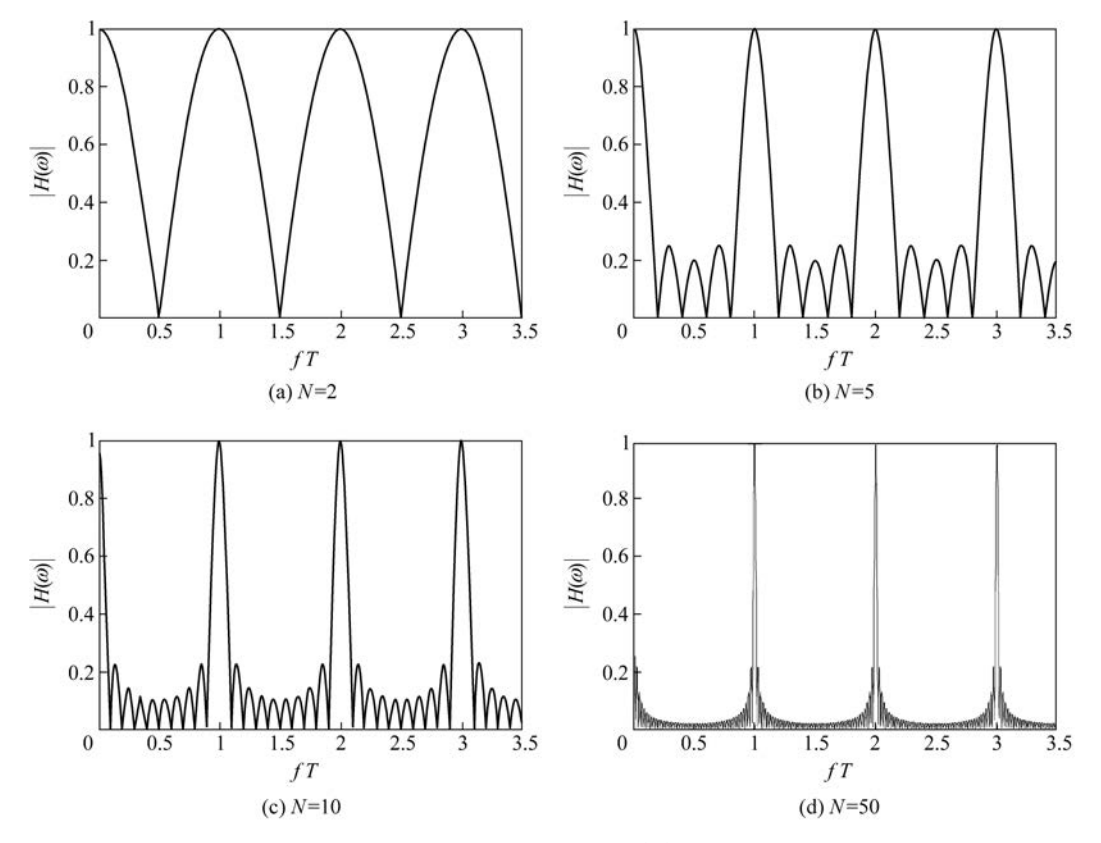


图 5-36 平均器幅频响应

令  $|H(i\omega)| = 1/\sqrt{2}$ ,可得平均器的-3dB 带宽 B 为

$$B \approx \frac{0.886}{NT} \tag{5-82}$$

可见,平均器的带宽反比于总测量时间 NT。例如,若被测信号周期为 T=1ms,平均次数  $N=10^6$ ,则总测量时间为 NT=16.7 min,带宽  $B=8.86 \times 10^{-4} \text{Hz}$ 。所以,时域平均也是频域 的窄带化技术。

### 2. 用 Z 变换方法分析

用序列号  $i(i=0,1,2,\dots,N-1)$  代替式(5-74)中的 t-iT,平均器计算过程为

$$A(t) = [x(i) + x(i-1) + x(i-2) + \dots + x(i-N+1)]/N$$
 (5-83)

利用 Z 变换方法,由式(5-83)可得平均器的离散传递函数为

$$H(z) = \frac{A(z)}{x(z)} = \frac{1}{N} (1 + z^{-1} + z^{-2} + \dots + z^{-N+1})$$
 (5-84)

令  $z = e^{j\omega T}$ , T 为取样间隔, 得平均器的稳态频率响应为

$$H(e^{j\omega T}) = \frac{1}{N} (1 + e^{-j\omega T} + e^{-j2\omega T} + \dots + e^{-j(N-1)\omega T})$$
 (5-85)

对式(5-85)中的等比级数求和,可得

$$H(e^{j\omega T}) = \frac{1}{N} \frac{1 - e^{-j\omega NT}}{1 - e^{-j\omega T}}$$
 (5-86)

这与式(5-79)的结果是一致的。

#### 数字式平均算法 5.5.4

#### 1. 线性累加平均算法

式(5-74)所表示的累加平均过程是一种线性累加平均过程,每个取样数据在累加中的权 重都一样。为简单计,用序号 n 来表示时刻 t-iT,  $n=i=0,1,2,\dots,N-1$ ,则式(5-74)可以 改写为

$$A(t) = \frac{1}{N} \sum_{n=0}^{N-1} x(n)$$
 (5-87)

这是一种批量算法,采集完 N 个数据后,再由计算机计算其平均值。这种算法的缺点是计算 量较大,需要做 N 次累加和一次除法才能得到一个平均结果,所以获得结果的频次较低。

根据前面的分析,对于噪声为白噪声的情况,平均过程能够实现的信噪改善比为

$$SNIR = \sqrt{N}$$

#### 2. 递推式平均算法

为了增加获得平均结果的频次,可以在每次取样数据到来时利用上次的平均结果做更新 运算,以获得新的平均结果。用 A(N-1)表示时刻 N-1 的前 N-1 个数据的平均结果, A(N)表示时刻 N 的平均结果,x(N)表示时刻 N 的取样值,式(5-87)可改写为

$$A(N) = \frac{1}{N} \sum_{n=1}^{N} x(n) = \frac{N-1}{N} \frac{1}{N-1} \sum_{n=1}^{N-1} x(n) + \frac{1}{N} x(N)$$
$$= \frac{N-1}{N} A(N-1) + \frac{x(N)}{N}$$
(5-88)

式(5-88)所表示的差分方程的运算过程示于图 5-37。

图 5-37 递推式平均运算过程框图

利用这种递推式平均算法,当每个取样数据到来后,可以利用新数据对上次的平均结果进 行更新,这样相对于每个取样数据都会得到一个平均结果。随着一个个取样数据的到来,平均 结果的信噪比越来越高,被测信号的波形逐渐清晰。针对几种不同的平均次数 N,图 5-38 示 出这种逐渐清晰的被测波形。

由式(5-88)可得

$$A(N) = A(N-1) + \frac{x(N) - A(N-1)}{N}$$
 (5-89)

可见,每次递推的过程都是对上次的运算结果附加一个修正量,修正量的大小取决于新的取样数 据与上次平均结果的差值以及平均次数 N。随着时间的推移,平均次数 N 越来越大,式(5-89) 中右边的第2项所表示的修正量会越来越小,也就是新数据的作用越来越小。数字电路和计 算机中的数据都有一定的字长和范围,当 N 大到一定程度后,该修正量会趋向于零,此后继续 取样和递推都不会对信噪比的改善起作用,平均结果稳定不变。如果被测信号波形发生了变 化,平均结果也不能跟踪这种变化,所以该算法不适于对时变信号进行处理。

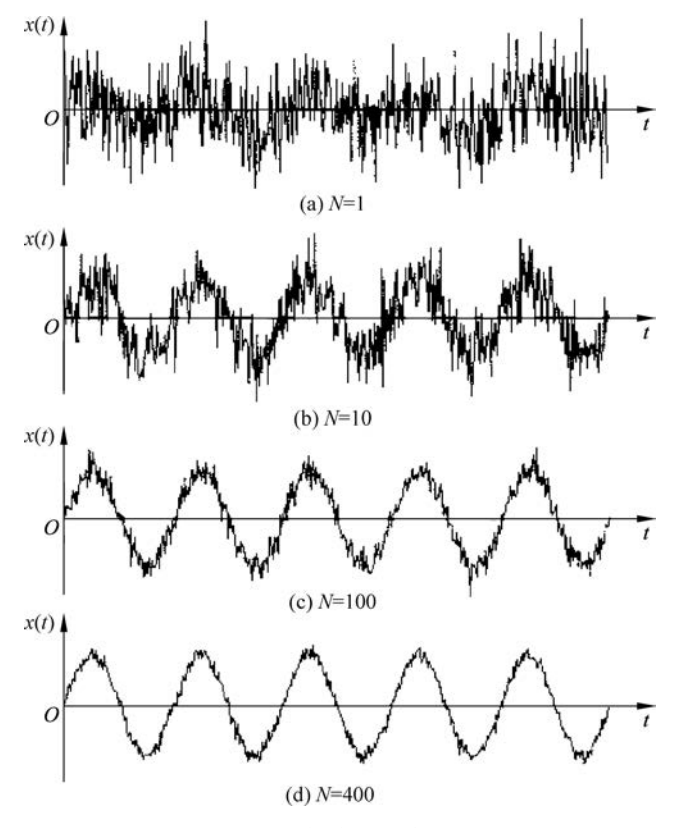


图 5-38 递推式平均输出波形

### 3. 指数加权平均算法

#### 1) 算法

如果把式(5-89)中的 N 用较大的固定正数  $\alpha$  代替,可得

$$A(N) = \frac{\alpha - 1}{\alpha} A(N - 1) + \frac{1}{\alpha} x(N)$$
 (5-90)

 $\Diamond \beta = (\alpha - 1)/\alpha$ ,若  $\alpha >> 1$ ,则有  $0 < \beta < 1$  且接近于 1,则式(5-90)可改写为

$$A(N) = \beta A(N-1) + (1-\beta)x(N)$$
 (5-91)

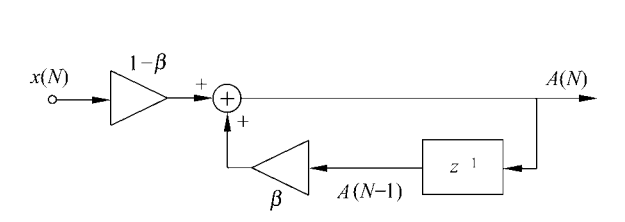
这就是指数加权数字式平均的算法,它也是在每次取样数据到来时,根据新数据对上次的平均 结果进行修正,得到本次的平均结果。参数β决定了递推更新过程中新数据和原平均结果各 起多大作用,算法的特性对 $\beta$ 的依赖性很大。相应的运算过程方框图示于图 5-39。

#### 2) 对取样数据的指数加权

将式(5-91)展开,得

$$A(N) = (1 - \beta) \sum_{n=1}^{N} \beta^{N-n} x(n)$$
 (5-92)

由式(5-92)可见,平均过程是把每个取样数据乘以一个指数函数,再进行累加,所以这是一种 指数加权平均,数据的序号 n 越大,权越重。因此,在平均结果中,新数据比老数据起的作用 要大,最新的数据(n=N)权重为 1。图 5-40 示出 n=N 和 n=N+1 时的加权函数  $\beta^{N-n}$  的 图形。



指数加权数字式平均流程框图 图 5-39

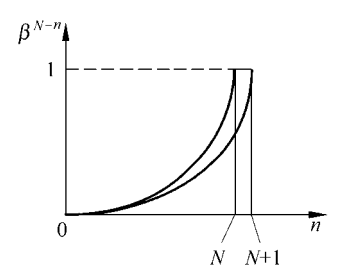


图 5-40 加权函数  $\beta^{N-n}$  的图形

#### 3) 传递函数

对式(5-91)两边做Z变换,得

$$A(z) = \beta z^{-1} A(z) + (1 - \beta) x(z)$$

由此可得,指数加权数字式平均的离散传递函数为

$$H(z) = \frac{A(z)}{x(z)} = \frac{1 - \beta}{1 - \beta z^{-1}}$$
 (5-93)

令式(5-93)中的 $z=e^{i\omega T}$ ,T为取样间隔,得指数加权平均器的稳态频率响应为

$$H(e^{j\omega T}) = \frac{1-\beta}{1-\beta e^{-j\omega T}}$$

$$(5-94)$$

其幅频响应为

$$\mid H(e^{j\omega T}) \mid = \frac{1-\beta}{\sqrt{1+\beta^2 - 2\beta \cos\omega T}}$$
 (5-95)

根据式(5-95)画出几种不同  $\beta$  情况下的 $|H(e^{i\omega T})|$ 图形,如图 5-41 所示。可见,当  $\beta$ =0 时,平 均器为全通滤波器; 当  $0 < \beta < 1$  时,由 x(k)到 A(k)的传输过程为一阶低通滤波器,其带宽取 决于β,β 越接近于1,带宽越窄。这种算法的特点是:可以用于对时变信号进行低通滤波处 理,而且算法简单,易干实现。

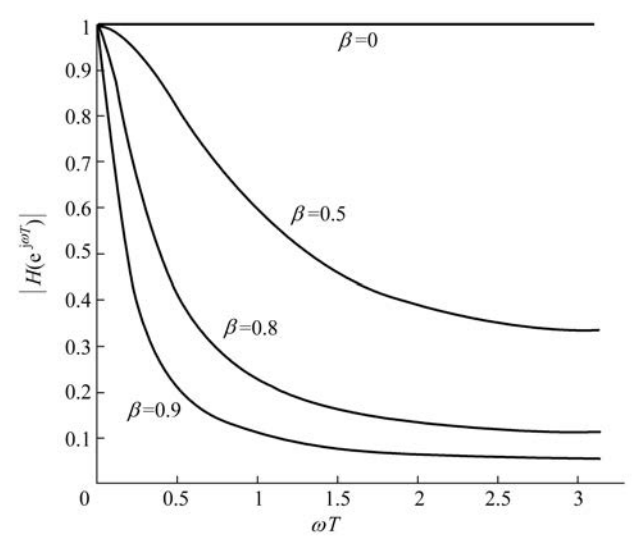


图 5-41 指数加权平均器的幅频响应

### 4. 移动平均算法

数字式移动平均算法的工作原理类似于图 5-14 所示的扫描式移动取样积分,下面以常用 的几种移动平均算法为例说明其原理。

## 1) 三点移动平均

三点移动平均算法为

$$A(n) = 0.25 \lceil x(n-1) + 2x(n) + x(n+1) \rceil$$
 (5-96)

对式(5-96)两边做Z变换,得

$$A(z) = 0.25 \ x(z) \left[ z^{-1} + 2 + z \right] \tag{5-97}$$

由此可得,三点移动平均算法的传递函数为

$$H(z) = A(z)/x(z) = 0.25(z^{-1} + 2 + z)$$
 (5-98)

令式(5-98)中的 $z=e^{j\omega T}$ ,得稳态频率响应为

$$H(e^{j\omega T}) = 0.25(2 + e^{-j\omega T} + e^{j\omega T}) = 0.25(2 + 2\cos\omega T) = \cos^2(\omega T/2)$$
 (5-99)

该函数在  $\omega T = 0 \sim \pi$  区间(相应于  $f/f_s = 0 \sim 0.5$ ,  $f_s$  为采样频率)是单调减函数,因此具有低 通特性,对采样数据具有平滑功能。式(5-96)所表示的算法又叫作海宁滤波器。

## 2) 五点移动平均

五点移动平均算法为

$$A(n) = [x(n-2) + x(n-1) + 2x(n) + x(n+1) + x(n+2)]/6$$

其传递函数为

$$H(z) = (z^{-2} + z^{-1} + 2 + z + z^{2})/6$$

$$H(e^{j\omega T}) = \left[\cos(2\omega T) + \cos(\omega T) + 1\right]/3 \tag{5-100}$$

3) 七点移动平均

七点移动平均算法为

$$A(n) = [x(n-3) + x(n-2) + x(n-1) + 2x(n) + x(n+1) + x(n+2) + x(n+3)]/8$$

其传递函数为

$$H(z) = (z^{-3} + z^{-2} + z^{-1} + 2 + z + z^{2} + z^{3})/8$$

 $\Leftrightarrow z = e^{j\omega T}$ ,得稳态频率响应为

$$H(e^{j\omega T}) = \left[\cos(3\omega T) + \cos(2\omega T) + \cos(\omega T) + 1\right]/4 \tag{5-101}$$

相应于式(5-99)、式(5-100)和式(5-101)的频率响应曲线示于图 5-42。可见,移动平均的 点数越多,通带的带宽越窄,对信号中高频分量的平滑作用越明显,但是计算工作量也越大。

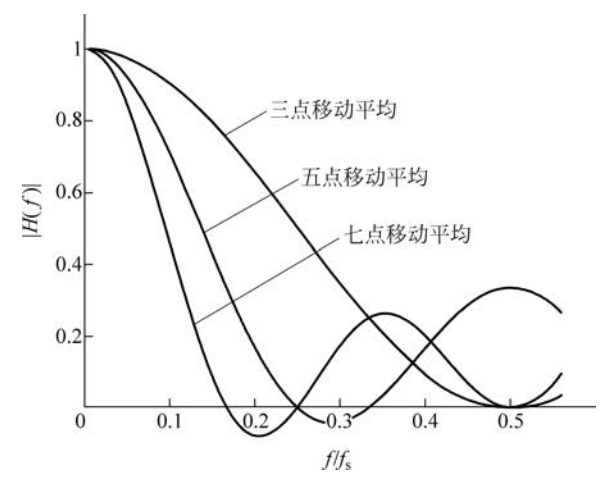


图 5-42 三点、五点和七点移动平均的幅频响应

上述平均算法都具有低通特性。利用数字信号处理的不同算法,还可以实现高通、带通和 带阻等滤波功能。

数字式运算的计算装置都有一定的字长,计算过程中数值的量化必然会有舍入误差,关于 这种误差导致的算法频响偏差,以及由此产生的"死带"问题,读者可查阅《数字信号处理》的有 关章节。

在实际应用中,数字式平均算法一般都是以微型计算机为中心,可以实现多种平均模式及 其他数字信号处理功能;而取样积分具有快速取样的优点,如果将其与微型计算机组合在一 起,就可以兼有两种方式的优点。在这种新型的时域平均系统中,一般都是把高速取样部分做 成几种不同指标的组件,可以根据需要进行选择。例如,在某种已经产品化的以微型机为核心 的平均系统中,一种高速取样头的取样脉冲宽度为 25ps~1ns,而另一种高速取样头的取样脉 冲宽度为 2ns~2ms,使用者还可以对取样单元的参数进行设定。

利用时域平均方法提高信噪比,可以把有用信号从噪声中提取出来,取样积分还可以实现 很高的分辨率,这种方法已经在很多领域中得到广泛的应用,例如用于荧光衰减测量、激光探 测实验、激光诊断、深能级瞬变光谱、脉冲超声波检测裂缝或缺陷、脉冲核磁共振、噪声分析、拉 曼光谱测量、光纤特性测量、光吸收研究、电子自旋共振、脑电波测定、振动分析、电化学研究、 光电检测、地震信号与生物物理学信号采集与处理等。

## **习**题

- 5-1 指数式取样门积分器工作于定点模式,积分器时间常数  $T_{\rm C} = RC$ ,取样门宽度为  $T_{\rm g}$ 。如果污染噪声为白噪声,要求功率信噪改善比  $SNIR_{\rm P}{>}100$ ,试求  $T_{\rm g}$  选择范围。
  - 5-2 污染信号 s(t)的噪声 n(t)为白噪声,经过带宽为 B 的滤波器后再累积平均。对于

给定的 SNIR,须使平均重复次数 $\geq N$  才能满足要求。试证明  $N \propto B$ 。

5-3 指数加权平均算法如下:

$$A(n) = 0.96 A(n-1) + 0.04x(n)$$

由于计算装置字长有限,运算结果都四舍五入为整数。设x(n)输入值都是100,A(n)初 始值为(a)85,(b)115。找出这两种情况下 A(n)输出的稳态值,以及这种输入数据条件下的 "死带(dead band,数据进入此带不能再更新)"宽度。

5-4 加权系数相同的 12 点移动平均算法为

$$A(n) = \frac{1}{12} [x(n) + x(n-1) + \dots + x(n-11)]$$

- (1) 写出其递推公式。
- (2) 画出其阶跃响应。
- (3) 在 0 < f < 1/(2T)(T) 为取样周期)频率范围内画出其幅频响应。
- 5-5 数字滤波器传递函数为

$$H(z) = \frac{z}{z + 0.9}$$

在 z 平面画出其零点极点分布图,给出其输入和输出关 系的递推公式,在 $-2\pi/T < \omega < 2\pi/T (T)$  为取样周期)范围内 画出其幅频响应曲线,说明滤波器功能。

5-6 对于图 P5-6 所示变形的移动累加电路,  $\gamma(n)$  = x(n)-2Ax(n-1)+x(n-2)。若 A=1,试求其幅频响应函 数|H(f)|。若 A < 1 且可调,试求其幅频响应函数 |H(f)|。讨论上述两种情况下电路实现的功能。

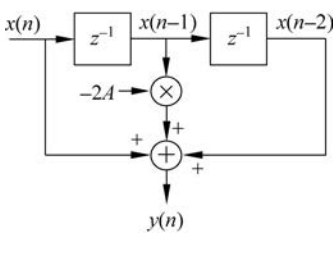


图 P5-6